

958 Overvåking av palsmyr

Første gjenanalyse i Leirpullan, Dovrefjell i Sør-Trøndelag.
Endringer fra 2007 til 2012

Annika Hofgaard & Heidi Elin Myklebost



NINAs publikasjoner

NINA Rapport

Dette er en elektronisk serie fra 2005 som erstatter de tidligere seriene NINA Fagrapport, NINA Oppdragsmelding og NINA Project Report. Normalt er dette NINAs rapportering til oppdragsgiver etter gjennomført forsknings-, overvåkings- eller utredningsarbeid. I tillegg vil serien favne mye av instituttets øvrige rapportering, for eksempel fra seminarer og konferanser, resultater av eget forsknings- og utredningsarbeid og litteraturstudier. NINA Rapport kan også utgis på annet språk når det er hensiktsmessig.

NINA Temahefte

Som navnet angir behandler temaheftene spesielle emner. Heftene utarbeides etter behov og serien favner svært vidt; fra systematiske bestemmelsesnøkler til informasjon om viktige problemstilinger i samfunnet. NINA Temahefte gis vanligvis en populærvitenskapelig form med mer vekt på illustrasjoner enn NINA Rapport.

NINA Fakta

Faktaarkene har som mål å gjøre NINAs forskningsresultater raskt og enkelt tilgjengelig for et større publikum. De sendes til presse, ideelle organisasjoner, naturforvaltningen på ulike nivå, politikere og andre spesielt interesserte. Faktaarkene gir en kort framstilling av noen av våre viktigste forskningstema.

Annen publisering

I tillegg til rapporteringen i NINAs egne serier publiserer instituttets ansatte en stor del av sine vitenskapelige resultater i internasjonale journaler, populærfaglige bøker og tidsskrifter.

Overvåking av palsmyr

Første gjenanalyse i Leirpullan, Dovrefjell i Sør-Trøndelag.
Endringer fra 2007 til 2012

Annika Hofgaard
Heidi Elin Myklebost

Hofgaard, A. & Myklebost, H.E. 2013. Overvåking av palsmyr.
Første gjenanalyse i Leirpullan, Dovrefjell i Sør-Trøndelag. Endringer fra 2007 til 2012. - NINA Rapport 958. 46 s.

Trondheim, mai 2013

ISSN: 1504-3312
ISBN: 978-82-426-2564-9

RETTIGHETSHAVER
© Norsk institutt for naturforskning
Publikasjonen kan siteres fritt med kildeangivelse

TILGJENGELIGHET
[Åpen]

PUBLISERINGSTYPE
Digitalt dokument (pdf)

REDAKSJON
Annika Hofgaard

KVALITETSSIKRET AV
Per Arild Arrestad

ANSVARLIG SIGNATUR
Assisterende forskningssjef Signe Nybø (sign.)

OPPDAGSGIVER(E)/BIDRAGSYTER(E)
Direktoratet for naturforvaltning

KONTAKTPERSON(ER) HOS OPPDAGSGIVER/BIDRAGSYTER
Else Løbersli

FORSIDEBILDE
Annika Hofgaard

NØKKELORD
Leirpullan, palsmyr, permafrost, overvåking, vegetasjon

KEY WORDS
Leirpullan, monitoring, palsa peatlands, permafrost, vegetation

KONTAKTOPPLYSNINGER

NINA hovedkontor
Postboks 5685 Sluppen
7485 Trondheim
Telefon: 73 80 14 00

NINA Oslo
Gaustadalléen 21
0349 Oslo
Telefon: 73 80 14 00

NINA Tromsø
Framsenteret
9296 Tromsø
Telefon: 77 75 04 00

NINA Lillehammer
Fakkelgården
2624 Lillehammer
Telefon: 73 80 14 00

Sammendrag

Hofgaard, A. & Myklebost, H.E. 2013. Overvåking av palsmyr. Første gjenanalyse i Leirpullan, Dovrefjell i Sør-Trøndelag. Endringer fra 2007 til 2012. – NINA Rapport 958. 46 s.

Overvåking av palsmyr er et nasjonalt overvåkingsprogram initiert av Direktoratet for naturforvaltning, med oppstart i 2004. Programmet omfatter i alt seks utvalgte overvåkingsområder fra Finnmark i nord til Dovre i sør. I denne rapporten presenteres resultater fra første gjenanalyse, og fem år etter førstegangsundersøkelsen i Leirpullan, Dovrefjell i Sør-Trøndelag. Rapporten gir også en kortfattet bakgrunn for behovet for overvåking av palsmyr, relevante klimadata for Leirpullan og benyttede overvåkingsmetoder (analyser av palsformasjoner, markslagsfordeling, teledybde og vegetasjonsfordeling). I et vedlegg gis detaljer for klimatiske forutsetninger og endringer av palsmyrer i tid og rom. Leirpullan er et ca. 0,1 km² stort bekdedelta med mineralpalsformasjoner i store deler av deltaet. Hele området er brukt i overvåkingsstudiet. Palsformasjoner, dammer og erosjonsområder ble analysert i 2007 og 2012 med hensyn til størrelse, teledybde og posisjon ved bruk av analyser langs ni permanente analyselinjer. Registreringene er grunnlaget for analyser av forandringer over tid, sammen med fotodokumentasjon langs linjene og utvalgte palsformasjoner. Resultatene fra linjeanalyssene er presentert i tabeller og figurer som visualiserer småskalafordelingen av markslag (6 variabler), bunnsgjikt (7 variabler), feltsgjikt (7 variabler), busksjikt (1 variabel), teledybde og palshøyde.

Antallet og størrelsen av eldre palser er redusert i perioden 2007 til 2012, samtidig som en ny pals ble dannet og telens utbredelse økte. Dette medførte at den samlede utbredelsen av permafrost var større i 2012 enn i 2007. Tilbakegang av palsene i Leirpullan er et resultat av en prosess som har pågått over lang tid og er i tråd med endringer mot et allerede varmere og fuktigere klima. Siden midten av 1980-talet har årsmiddeltemperaturen økt med ca. 1,5 °C, men selv om den fortsatt ligger et godt stykke under null grader, er denne temperaturutviklingen en ugunstig for palsenes vekst og overlevelse. Den registrerte økningen i permafrostutbredelsen skyldes først og fremst ulike værforhold mellom analyseårene. I de årene teledybden ble målt, var årsmiddeltemperaturen ca. 0,7 °C kaldere og sommeren 1,5 °C kaldere i 2012 enn i 2007. I tillegg var årsnedbøren noe lavere i 2012. Værforskjeller mellom år er avgjørende for hastigheten og trenden i den langsiktige utviklingen. De sentrale delene av Leirpullan som domineres av fragmenterte palser, er de mest sårbare. I de deler av Leirpullan som domineres av store palser der tilfeldig økning av permafrost motvirker den generelle tilbakegangen, vil palsmyrbiotopen sannsynligvis finnes i mange tiår fremover. Denne vurderingen tar imidlertid ikke hensyn til en eventuell generell endring av telenivå og vegetasjon på palsene, noe som vil kunne endre hastigheten til prosessen betraktelig. Feltsjiksdominerte områder har minket noe på palsene fra 2007 til 2012, samtidig som lavdekket nesten har vært uendret. Dette er forhold som er gunstige for langsiktig overlevelse av eldre palser da lavvokst og lysreflekterende vegetasjon har positiv påvirkning på telenivået. Neste analyse av området er planlagt i 2017.

Annika Hofgaard og Heidi Myklebost, NINA. Postboks 5685 Sluppen, 7485 Trondheim.
annika.hofgaard@nina.no

Abstract

Hofgaard, A. & Myklebost, H.E. 2013. Monitoring of palsa peatlands. First re-analysis at Leirpullan, Dovre mountain in Sør-Trøndelag. Changes from 2007 to 2012. – NINA Report 958. 46 pp.

The monitoring of palsa peatlands is a national monitoring project which was started in 2004 by the Norwegian Directorate for Nature Management. The entire project includes six selected monitoring areas from Finnmark in the north of Norway to the Dovre region in the south. This report presents the results from the first reanalyses five years after the initial investigations at Leirpullan in the Dovre region, Sør-Trøndelag County. The report presents a short background to the need for palsa peatland monitoring, climate data relevant to the Leirpullan area and monitoring methods (analyses of palsa formations, distribution of land cover types, ground frost and vegetation). Details for climatic requirements and spatiotemporal changes of palsa peatlands are given in an appendix. Leirpullan is a ca. 0.1 km² stream delta area with mineral palsas over large parts of the area. Palsa formations, thermokarst ponds and erosion areas were analysed in 2007 and 2012 regarding size, thaw depth and location, by the use of analyses along nine permanent sampling lines. The line-recordings form together with photos along the lines and of selected palsa formations, the basis for analyses of temporal and spatial changes. Results from the line-analyses are presented in tables and figures visualising small scale distribution of land cover types (6 variables), bottom layer (7 variables), field layer (7 variables), shrub layer (1 variable), thaw depth, and palsa height above surrounding water.

The number and size of old palsas decreased in the period 2007 to 2012 at the same time as one new palsa was formed, the permafrost distribution increased and the thaw depth decreased. In total, the permafrost distribution thus increased from 2007 to 2012. The reduction of palsas in Leirpullan is the result of a process that has been ongoing for a long time and is in line with changes to an already warmer and wetter climate. Since the mid-1980s, the annual mean temperature has increased by approximately 1.5 °C, but although it is still well below zero degrees, the temperature trend is unfavorable to palsa growth and survival. The recorded increase in permafrost distribution is primarily due to different weather conditions between the analysed years. In the years when thaw depth was measured, both the annual temperature and the summer temperature was colder (0.7 °C and 1.5 °C, respectively) in 2012 than in 2007. In addition, annual precipitation was slightly lower in 2012. Weather differences between years are vital to the rate and trend in the long-term development. The central parts of Leirpullan, dominated by fragmented palsas, are most vulnerable. In other parts of Leirpullan, dominated by large palsas and where occasional increase of permafrost counteract the dominating recession process, the palsa biotope will most likely remain for many decades. This reckoning does not, however, take possible general changes of thaw depth and vegetation structure into account which could speed up the recession process considerably. Field layer dominated areas on the palsas have decreased somewhat during the 2007-2012 period along with nearly unaltered lichen cover. This vegetation change is favourable for long-term survival of old palsas through its positive impact on ground frost formation and role as co-driving force on thaw depth. The next analysis of the area is scheduled to 2017.

Annika Hofgaard and Heidi Elin Myklebost, NINA. P.O. Box 5685 Sluppen, NO-7485 Trondheim, Norway. annika.hofgaard@nina.no

Innhold

| | |
|---|-----------|
| Sammendrag..... | 3 |
| Abstract | 4 |
| Innhold..... | 5 |
| Forord | 7 |
| 1 Innledning..... | 8 |
| 2 Overvåkingsstudiets design | 11 |
| 2.1 Overvåkingsområder..... | 11 |
| 2.2 Metoder..... | 12 |
| 2.2.1 Analysefrekvens | 12 |
| 2.2.2 Linjeanalyser | 12 |
| 2.2.3 Fotodokumentasjon | 14 |
| 2.2.4 GPS-registreringer..... | 14 |
| 2.2.5 Flybilder | 14 |
| 3 Områdedata - Leirpullan..... | 15 |
| 3.1 Områdebeskrivelse | 15 |
| 3.2 Klimadata | 16 |
| 3.2.1 Temperatur | 16 |
| 3.2.2 Nedbør | 18 |
| 3.2.3 Snødybde | 18 |
| 3.3 Fly- og satellittbilder | 19 |
| 3.4 Overvåkingsdata fra 2007 | 20 |
| 3.4.1 Palsformasjoner..... | 20 |
| 3.4.2 Dammer og vannfliker | 21 |
| 3.4.3 Linjeanalyser | 21 |
| 3.4.4 Artsfrekvens | 22 |
| 3.5 Datainnsamling 2012 | 23 |
| 4 Resultat..... | 24 |
| 4.1 Palsformasjoner | 24 |
| 4.2 Dammer og vannfliker | 25 |
| 4.3 Linjeanalyser | 27 |
| 4.3.1 Tele og markslag | 27 |
| 4.3.2 Sprekkfrekvens..... | 29 |
| 4.3.3 Artsfrekvens | 33 |
| 4.4 Menneskelige påvirkning..... | 34 |
| 5 Diskusjon..... | 35 |
| Tidsplan..... | 37 |
| 6 Referanser | 38 |
| 6.1 Rapporter innen overvåkingsprosjektet..... | 38 |
| 6.2 Annen sitert litteratur | 38 |
| 7 Vedlegg 1: Klimatiske forutsetninger og endring av palsmyrer i tid og rom..... | 40 |
| 7.1 Sammansättning och struktur | 40 |
| 7.2 Utbredning och klimatiska förutsättningar | 41 |

| | |
|------------------------------------|----|
| 7.3 Palsmyrdynamik..... | 43 |
| 7.3.1 Temporala förändringar | 43 |
| 7.3.2 Rumsliga förändringar | 45 |
| 7.4 Referanser | 46 |

Forord

"Overvåking av palsmyr" er et nasjonalt overvåkingsprogram som finansieres av Direktoratet for naturforvaltning (DN) og som ble initiert av DN i 2002/2003 med oppstart i 2004. Norsk institutt for naturforskning (NINA) har det faglige og praktiske ansvaret for overvåkingen og for analyser av innsamlet data og rapportering, samt for konklusjoner fra prosjektet. Foreliggende rapport er den fjerde statusrapporten i programmet med resultater fra gjenanalyser fem år etter førstegangsanalysen.

Vitenskapelig begrunnelse for prosjektet og det nasjonale og internasjonale behovet for overvåking av palsmyrutvikling er presentert i rapportene "Effects of climate change on the distribution and development of palsa peatlands: background and suggestions for a national monitoring project" (Hofgaard 2003) og "Etablering av overvåkingsprosjekt på palsmyrer" (Hofgaard 2004). Noe av innholdet i disse rapportene er gjengitt i de årlige rapportene for enkeltområder og i foreliggende rapport, for at de enklere skal kunne leses som selvstendige dokumenter. For mer fullstendig informasjon om begrunnelse og prosjektdesign henvises til nevnte rapporter.

Her rapporteres første 5-års gjenanalyse fra Leirpullan i Sør-Trøndelag, for perioden 2007 til 2012. I tillegg til resultater og diskusjon av disse, gir rapporten en kortfattet bakgrunn for behovet for overvåking av palsmyr, metoder, valg av områder med palsformasjoner og analyselinjer for palsstruktur, markslagsfordeling, teledybde og vegetasjonsfordeling. I et vedlegg til rapporten gis detaljer for klimatiske forutsetninger og endring av palsmyrer i tid og rom. Rapportens fotografier er tatt av førsteforfatteren.

En vitenskapelig referansegruppe var knyttet til oppstarten av overvåkingsprogrammet, med deltagende forskere fra et bredt spekter av norske universiteter og forskningsinstitutter (se Hofgaard 2003).

Takk til DN og kolleger på NINA for kommentarer og nyttige diskusjoner under arbeidet med prosjektets ulike faser, og til Kari Sivertsen ved NINA for hjelp med noen av figurene.

Trondheim, mai 2013

Annika Hofgaard

1 Innledning

Palsmyrer er subarktiske myrkomplekser med permanent frosne torvhauger (palser). Disse myrkompleksene er karakteristiske og unike trekk på høye, nordlige breddegrader i deler av Fennoskandia, Russland, Canada og Alaska. I senere tid har palssystemer i hele det sirkumpolare utbredelsesområdet vært karakterisert av degenerering, men hastigheten i denne trennen er høyst usikker (Payette et al. 2004, Fronzek et al. 2009, Sannel 2010). Forventet global oppvarming spesielt på høye nordlige breddegrader har økt behovet for overvåkingsprogrammer som er designet for å spore endringer i sensitive økosystemer og de edafiske og biotiske strukturer de er avhengige av (IPCC 2001, 2007, ACIA 2005).

Palsmyrer inkorporerer både sensitive edafiske strukturer og sensitive biotiske samfunn. Den romlige og tidsmessige fordelingen av palser er avhengig av lokale og regionale klimafaktorer, og hvordan disse forandrer seg over tiår og århunder. Det antas at ytterligere klimaoppvarming og/eller nedbørsøkning vil resultere i degenerering av de fleste palsområdene i de mest marginale områdene i løpet av noen få tiår (se Sollid & Sørbel 1998, Christensen et al. 2004, Luoto et al. 2004, Payette et al. 2004, Fronzek et al. 2009, Sannel 2010). Økosystemene langs middelårsisotermen for 0 grader er sannsynligvis de mest sårbare for klimaendringer, og myrområder i disse regionene har betydelig utveksling av drivhusgassene metan og karbondioksid med atmosfæren (Fronzek et al. 2009). Disse områdene er følgelig også meget sårbare for menneskelige aktiviteter som påvirker de hydrologiske forholdene, torvoverflaten eller vegetasjonsstrukturen i myrområdene. Økt klimatisk marginalisering gjør at også beskjeden menneskelig påvirkning kan virke destabilisende. Dette kan sette langsigkt overlevelse av arter med preferanse for det spesielle palsmyrmiljøet på spill, både lokalt og regionalt.

Unike trekk ved palsmyrer er at de er meget dynamiske over tid, med et heterogent miljø grunnet vekst og forfall av palser (Seppälä 1986, Luoto & Seppälä 2003). Foruten de unike myrkomponentene representerer palsmyrene sensitive heterogene biologiske systemer og distinkte økosystemtjenester som er avhengige av at myras struktur og dynamikk er opprettholdt. De er lokalt meget viktige områder for bærplukking (i hovedsak molte), og samtidig er de viktige hekkeområder for en rik fuglefauna og rasteplatser for trekkende fugl. Fra et biodiversitetspunkt er det alarmerende at den gradvise forsvinningen av de unike palsmyrhabitatene er en enveisprosess. Disse habitatene vil ikke bli erstattet i et fremtidig varmere klima. I naturypebevaringssammenheng er palsområder høyt verdsatt i Europa; de er en av 65 prioriterte naturlige habitattyper i Annex I av EU-direktivet "The Habitats Directive" (2007).

Palsmyrer forekommer først og fremst i grenseområdene mellom de arktiske og boreale regionene, men også mellom de alpine og boreale regionene (Luoto & Seppälä 2002). Palsene, som er torvdekte hauger skapt av permafrost, reiser seg karakteristisk over den omkringliggende myroverflaten. Haugenenes høyde varierer fra under en meter til flere meter og kan ha en overflatedekning på mange hundre kvadratmeter, hvor de større utgjør palsplatåer (Laberge & Payette 1995, Sollid & Sørbel 1998). I tillegg til palser og palsplatåer karakteriseres palsmyrer av en mosaikk av torvmark uten permafrost, våte starr- og myrullområder, dammer forårsaket av deler av tidligere palser som har falt sammen, torvringer rundt disse dampmene, erosjonsområder og midlertidige eller embryonale permafrostformasjoner som kun lever seg noen få desimeter over myroverflatens nivå. Tilsammen utgjør disse terrengformasjonene og myrkomponentene palsmyrsystemer som er svært dynamiske over tid som følge av nydannelse, vekst og nedbrytning av palsene. Myrkomponentenes fordeling påvirker myrenes vegetasjonsstruktur, for eksempel gjennom innflytelse på hydrologiske faktorer og vindeksponering. Samtidig virker vegetasjonsstrukturen inn på fordelingen av permafrost gjennom innflytelse på snøfordeling, fuktighet og jordtemperatur. Dette gjør at fordelingen av tre-, busk-, urte-, gress-, mose- og lavdominert vegetasjon varierer på en påfallende mosaikkartet måte på myrene. Denne variasjonsbredden i det abiotiske og biotiske miljøet har en avgjørende betydning for palsmyrøkosystemenes struktur og funksjon i tid og rom.

I tillegg til torvpalser finnes mineralpalser. Mineralpalsene er mer sjeldne, men ligner i sin form og dynamikk på torvpalsene. De karakteriseres av tynt mose- eller lavdekte permafrostforårsakede sandhauger som reiser seg over omgivelsene (**Figur 1**). Leirpullan, som omhandles i følgende rapport, er i sin helhet karakterisert av mineralpalser i ulike utviklingsstadier (**Figur 2-4**) Mellomformer mellom torvdominerte og mineraldominerte palser forekommer. Detaljer for palsoppbygging og forutsetninger for palsvekst og palsnedbrytning er presentert i **Vedlegg 1**.



Figur 1. Mineralpalsene danner øyer i Leirpullan, de høyeste av disse hever seg ca. en og en halv meter over vannoverflaten. De fleste av øylene har minket i areal i perioden 2007 til 2012. Foto: A. Hofgaard. © NINA 2013.



Figur 2. Pals med erosjonskant mot vest (pals LP06, se avsnitt 3.4). Palsen har minket både i høyde og omfang i perioden 2007 til 2012. Foto: A. Hofgaard. © NINA 2013.



Figur 3. Ringformet pals rundt tidligere dam (pals LP05, se avsnitt 3.4). Deler av pelsen har kollapsert i perioden 2007 til 2012. Foto: A. Hofgaard. © NINA 2013.



Figur 4. En av de største palsene i Leirpullan (pals LP03, se avsnitt 3.4) karakterisert av lave kanter med noen få bruddkantpartier mot omkringliggende vann. Relativt få endringer ble registrert i perioden 2007 til 2012. Foto: A. Hofgaard. © NINA 2013.

I Norge forekommer palsformasjoner i myr hovedsakelig innen to regioner, en i sør og en i nord. Regionen i sør er mer eller mindre helt begrenset til Dovre-området, mens regionen i nord er mer generell og dekker store deler av Troms og Finnmark, unntatt kystnære områder. Den kontinentale eller lokalkontinentale klimatypen som er rådende i disse områdene både i nord og sør, er en forutsetning for utvikling og overlevelse av palser i den relativ varme og fuktige klimaregionen som Skandinavia tilhører, med sin sterke påvirkning fra atlantiske luftmasser (se **Vedlegg 1**).

Klimaforandringer som påvirker den regionale eller lokale innflytelsen av disse luftmassene, det vil si graden av oseanitet, vil ha innflytelse på palsmyrenes utbredelse og struktur i Skandinavia. Følgelig vil palsmyrenes økologiske betydning på landskaps- og økosystemnivå også bli påvirket. I løpet av siste del av 1900-tallet og begynnelsen av 2000-tallet har utviklingen i palsmyrområdene vært dominert av tilbakegang, selv om noe nyutvikling har forekommert (se Hofgaard 2005, 2008 og 2010). Dette har økt behovet for hensiktsmessig og metodisk overvåking.

Det norske overvåkingsprogrammet for palsmyrer ble startet i 2004. Metodisk konsistente og langsiktige overvåkingsprosjekter for skandinaviske palsmyrområder har tidligere vært en mangelvare, selv om det har pågått forskning innen fagområdet over lang tid (se Hofgaard 2003 og 2004, Wramner et al. 2012). Tidligere dokumentasjon har imidlertid hatt et litt ensidig fokus på sene utviklingsstadier og helhetsbildet har vært uklart. Et overvåkingsprogram må kunne fange opp den pågående flom av forandringer forårsaket av permafrostforandringer. For at reelle konklusjoner skal kunne dras, må dette inkludere forskjellige palsstrukturer, dannelses- og gjengroing av dammer sammen med analyser av endringer i vegetasjonsstruktur og menneskelig påvirkning. Etableringen av det norske overvåkingsprogrammet gir derfor verdifull informasjon med relevans for forvaltningen og det vitenskapelige miljøet, både nasjonalt og internasjonalt. Dynamikken i palsmyrer utgjør en verdifull og egnet indikator innen temaområdet «effekter av klimaforandringer».

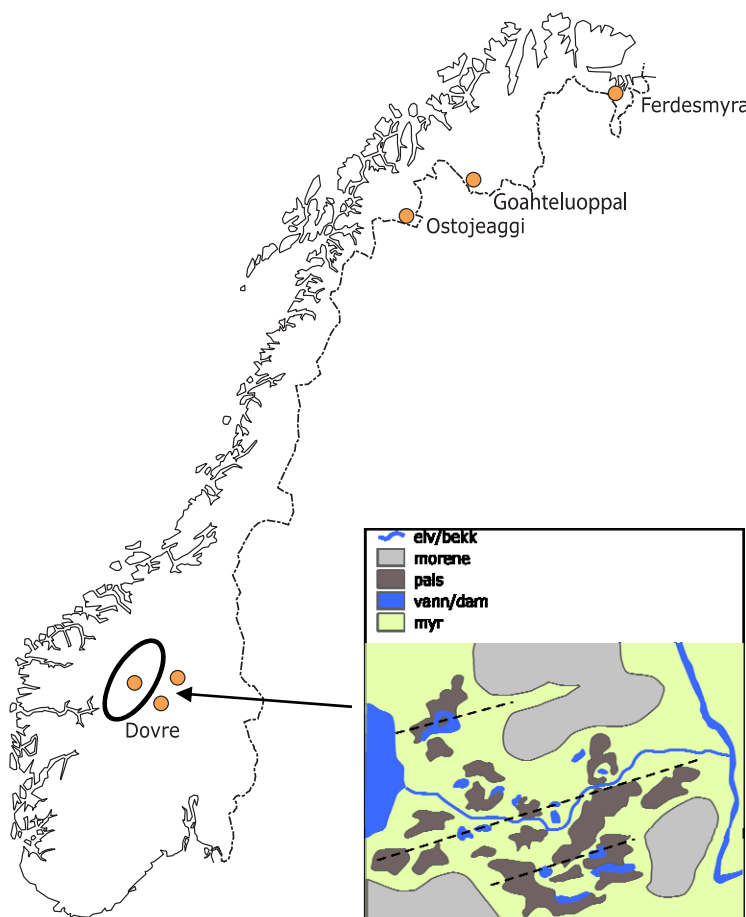
Det norske overvåkingsprogrammet er av særlig stor verdi fordi det omfatter områder i store deler av det skandinaviske utbredelsesområdet for palsmyr, fra sørligste forekomst (Dovre) til de nordligste (Øst-Finnmark). Den klimatiske bakgrunnen og hvordan frekvensen av de ulike myrkomponentene med og uten permafrost endres i både tid og rom er grundig beskrevet i de tidligere rapportene fra overvåkingsprosjektet (Hofgaard 2003 og 2004), men er også i korthet presentert i **Vedlegg 1**.

2 Overvåkingsstudiets design

2.1 Overvåkingsområder

Fem hovedområder fordelt på Finnmark og Troms i nord og Dovre-området i Sør-Norge inngår i overvåkingsprosjektet: Ferdesmyra, Goahteluoppal og Ostojeaggi i nord, og Haukskardmyrin/Haugtjørnin og Leirpullan i Dovre-området (**Figur 5**). Områdene er valgt for å representere dominerende geografiske og klimatiske miljøgradienter i Norge. Hovedgradienten følger den minkende innflytelsen av atlantiske luftmasser og den økende innflytelsen av arktiske luftmasser, fra sør til nord. Denne gradienten dekker den sørlige utbredelsesgrensen for sporadisk og fragmentert forekomst av permafrost i Skandinavia, og samtidig den vestre utbredelsesgrensen av den Nord-Eurasiske permafrostregionen. Områdene i sør representerer i tillegg en høydegradient, der Leirpullan som er et mineralpalsområde er valgt for å tydeliggjøre høydegradienten. Områdene i nord representerer en vest-øst gradient. I regionen mellom det sørlige og nordlige utbredelsesområdet for palsmyrer forekommer det palser på noen få steder, men ingen av disse lokalitetene er inkludert i overvåkingsprogrammet.

I hvert overvåkingsområde er det valgt ut delområder for detaljerte overvåkingsstudier. Grunnet forskjeller i størrelse mellom områdene (fra ca. 0,1 til 15 km²) er ulike store andeler av myrområdene omfattet av overvåkingen. De mindre områdene inngår mer eller mindre i sin helhet, mens tilgjengelighet og representativitet har vært avgjørende for valg av delområder på de større palsmyrene. Permanente analyselinjer er plassert i de utvalgte delområdene, og linjenes lengde og antall er tilpasset delområdenes størrelse og palsformasjonenes karakter og omfang.



Figur 5. Studiedesign med utvalgte overvåkingsområder langs de dominererende miljøgradientene fra sør til nord. Området som er presentert i denne rapporten, er markert med en oval. Det innfeltet kartet viser eksempel på palsområde med analyselinjer for innsamling av abiotisk og biotisk datamateriale. © NINA 2013.

2.2 Metoder

2.2.1 Analysefrekvens

Overvåkingen er basert på gjenanalyser hvert femte år, men bare ett område er analysert per år. I løpet av overvåkingens første fem år (2004-2008) ble alle de utvalgte overvåkingsområdene (se **Figur 5**) analysert en gang (førstegangsundersøkelser). I neste femårsperiode (2009-2013) utføres første gjenanalyse i alle områder. Detaljer for hvilke områder som analyseres hvilke år er presentert i slutten av rapporten (se Tidsplan, kapittel 6).

2.2.2 Linjeanalyser

Linjeanalysetene er designet for å fange opp variasjoner og forandringer i palsstruktur, dominerende vegetasjon, frekvens av ulike markslag og tele/permafrost i valgte områder. Dette gjøres ved hjelp av detaljregistreringer i syv variabelkategorier: markslag, bunnssjikt, feltsjikt, busksjikt, teledybde, palshøyde og torvsprekker (**Tabell 1**). Individuelle linjers lengde bestemmes av palsformasjonenes størrelse og frekvens av ulike markslag i de enkelte palsområdene. Minimum linjelengde er som regel 50 meter, men dette er avhengig av områdets og palsenes størrelse. Registreringsfrekvensen langs linjene er én meter, det vil si at for hver meter registreres verdier og/eller den dominerende variablene innen hver kategori. På grunn av at registreringsarbeidet er relativt tidkrevende, er metodene utarbeidet slik at linjeanalysetene kan gjøres med to ulike intensiteter: "detaljlinjer" der alle variabler registreres, og "generelle linjer" der kun markslag, dominerende vegetasjon og torvsprekker registreres. Ved bruk av begge intensitetsnivåene bør minst en tredjedel av den totale linjelengden analyseres detaljert. Ettersom vegetasjonen i hvert markslag og dominerende vegetasjonskategori er relativt homogen, kan det innsamlede materialet fra de to intensitetsnivåene sammenlignes og sammenstilles. Dette utgjør dermed et samlet grunnlag for analyse av forandringer over tid. For Leirpullan er kun "detaljlinjer" brukt.

For torvsprekker registreres antall sprekker og sprekkbredde langs alle linjene (se **Tabell 1**). I partier med aktiv og sterk degenerering, som for eksempel bruddkanter, er det vanskelig eller umulig å definere de enkelte sprekker og bredder. Derfor er slike partier angitt med total lengde langs linjene og inngår ikke i beregningen av antall sprekker per meter. Dette gjør at de to tallene må ses i sammenheng for at frekvensen av partier med sannsynlig forandring ikke underverderes. Ved bruk av sprekker som variabel for sammenligning over tid må man være klar over at variabelverdien til dels er avhengig av fuktigheten ved analysestidspunktet. Antallet sprekker vil ikke forandres mye med fuktigheten, men bredden til enkelte sprekker vil kunne variere noe.

I tillegg til analyser langs palsstrukturlinjene er vegetasjonens artssammensetning analysert langs tilfeldig plasserte "artslinjer" innen utvalgte delområder. Linjene representerer vegetasjonen på palsoverflaten og palsens grensesoner i delområdene, men ikke delområdet i sin helhet. Artslinjedataene er et grunnlagssupplement til de relativt grove analysene langs de lange palsstrukturlinjene. Artslinjenes lengde er 5 meter og registrering gjøres ved hjelp av en punktfrekvensmetode tilpasset linjeanalyser. Første vertikale punkttreff (punktbredde er 1 millimeter) av tilstedeværende arter/variabler registreres for hver tiende centimeter langs linjene (dvs. 50 verdier per linje). I tillegg er dominerende vegetasjonstype registrert for hver meter. Det er brukt de samme variablene som langs de lengre linjene, men variablene "lyng" er delt opp og registrert til art.

Tabell 1. Variabler som er registrert ved linjeanalyseene samt forkortelser som er brukt i feltprotokollene. © NINA 2013.

| | | |
|-----------------------|-------|---|
| markslag | sjø | innsjø - vann rundt palsene |
| | p | pals |
| | fdp | mark med vegetasjon men uten permafrost |
| | d | dam |
| | pøl | grunn pøl på palsoverflaten |
| | bk | bruddkant; erosjonskant med sandblokker delvis eller helt uten vegetasjon |
| bunnsjikt | lav | kollektivt for lav |
| | mo | mose - alt utenom torvmose |
| | sph | kollektivt for torvmose (<i>Sphagnum</i> spp.) |
| | st | strø |
| | va | vann |
| | sd | sand |
| | stein | sten |
| feltsjikt | ris | kollektivt for lyngarter (<i>Vaccinium</i> spp.) |
| | emp | krekling (<i>Empetrum</i> spp.) |
| | sah | musøre |
| | ull | kollektivt for alle myrullarter (<i>Eriophorum</i> spp.) |
| | cx | kollektivt for starr (<i>Carex</i> spp.) |
| | gras | kollektive for gras |
| | urt | kollektivt for urter |
| busksjikt | sa | kollektivt for vier (<i>Salix</i> spp.) |
| | () | arten forekommer men er ikke dominerende som busksjikt |
| teledybde | 150 | målt i cm, en målning per meter |
| | "150" | usikkert om det er tele eller sediment |
| | 150+ | tele ikke nådd på målt dybde |
| torvsprekker s | | angis i antall og bredde |
| høyde | 60 | angis i cm over omgivende vann |

2.2.3 Fotodokumentasjon

Palsstrukturlinjene er fotodokumentert (objektivinnstilling tilsvarende 50 mm) for å visualisere både innsamlede data og forandringer over tid. Dokumentasjonen er gjort i linjenes retning, ved start, slutt og ved hver femtiende meter langs linjene. Metodikken er valgt for å gjøre gjenfotografering ved neste gangs analyse lettere. I tillegg er enkelte fotopunkter valgt ut for å representere ulike utviklingsstadier innen palser og palsplatåer, som for eksempel erosjonskanter, dammer og kortvarige palsformasjoner. Artslinjene er ikke fotodokumentert.

2.2.4 GPS-registreringer

Linjene er GPS-registrert (UTM: WGS 84 sone 34W) for å gjøre det lettere å gjenopprette linjer og analyseposisjoner ved gjenanalyser. Artslinjene er ikke GPS-registrert. Posisjon for de ulike linjene vil også bli brukt ved analyser av fly- og satellittbilder.

2.2.5 Flybilder

Flybilder brukes i analyser av storskalaforandringer i palsmyrenes struktur, dvs. frekvens av ulike markslagskomponenter (se **Tabell 1**). Flybilder og informasjon om tilgjengelige bilder stammer fra Statens kartverk som har ansvaret for og forvalter det nasjonale sentralarkivet for flybilder. Flere av overvåkingsområdene (**Figur 5**) mangler nyere flybilder, og det eldre flybildematerialets kvalitet varierer sterkt mellom tidsperioder. Dette er begrensende for detaljerte tidsanalyser av palsmyrenes forandringer, men utgjør et grunnlag for framtidige analyser.

3 Områdedata - Leirpullan

3.1 Områdebeskrivelse

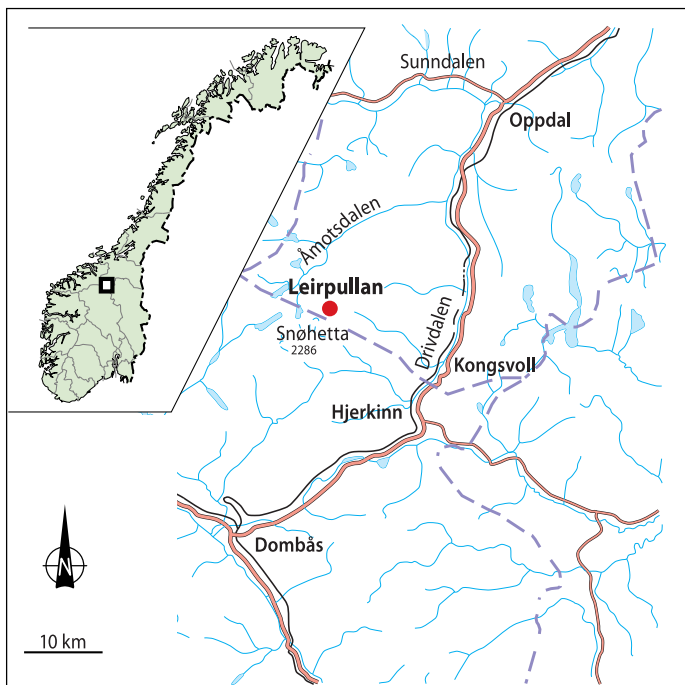
Leirpullan tilhører Dovre-regionen i de sentrale delene av Sør-Norge som har de sørligste velutviklede palsmyrområdene i Skandinavia. Palsformasjoner forekommer i intervallet mellom ca. 1000 og 1450 meter over havet, men forekomstene er sparsomme. Torvpalser forekommer spredt i myrområder kun i de nedre delene av intervallet. Her finnes også levninger fra tidligere palser og palsplatåer som i dag nesten eller helt har kollapset (Hofgaard 2006, Hofgaard & Wilmann 2011). I den øvre intervalldelen forekommer palsformasjoner i finkornet sediment dekket av et tynt vegetasjonssjikt. Disse "mineralpalsene" er relativt sjeldne, men Leirpullan utgjør et godt eksempel med velutviklede større og mindre mineralpalser (Matthews et al. 1997, Hofgaard 2008). Dovre-regionen har et svakt kontinentalt til indifferent klima med en års middeltemperatur på ca. -0,5 til -3 °C avhengig av høydelag, en årsnedbør på ca. 400-700 mm og en vegetasjonsperiode på ca. 110-130 dager.

Leirpullan er et grunt bekkedelta nordøst for Snøhettas nordre topp (**Figur 6** og **Forsidebilde**), nedenfor nordsidens bremråde som gjennom årtusener har formet det finkornete sedimentgrunnlaget for mineralpalsene. Leirpullan inkluderer et tjuetall mineralpalser omkranset av vann. Områdets markerte alpine klima er preget av lave temperaturer og periodevis sterk vind med stor innvirkning på blant annet snøfordelingen på og rundt palsene.

Eldre dokumentasjon av Leirpullans palsstrukturer og palsutvikling finnes i en publikasjon av Matthews et al. (1997) fra studier i området i begynnelsen av august 1995. Publikasjonen inkluderer en del fotodokumentasjon og målinger av størrelse, høyde og forekomst av tele innen fem individuelle palsformasjoner og sedimentstudier av to palser. Denne informasjonen dannet et delgrunnlag til førstegangsundersøkelsen i Leirpullan i 2007. Den maksimale høyden for individuelle palser i området er ca. en til to meter, og den vanligste formen er små til opptil noen hundre m² store flate langstrakte palser og sammensatte palsområder (se forside).

Nedenfor gis informasjon om status, beliggenhet, berggrunn og vegetasjon samt tilgjengelige klimadata og ulike typer områdedokumentasjon. Berggrunnsinformasjonen er hentet fra www.ngu.no og informasjon om vegetasjonsøkologisk region og vegetasjonsperiodens lengde (antall dager med temperatur på >5 °C) stammer fra Moen (1999). Alle klimadata er hentet fra Meteorologisk institutt (www.met.no). Leirpullan i Sør-Trøndelags sørvestre hjørne (**Figur 6**) tilhører den indifferent alpine (A-OC) vegetasjonsgeografiske region (Moen 1999), noe som skiller Leirpullan fra de fleste andre områdene i overvåningsprosjektet.

| | |
|-------------------------------|---|
| Status: | Del av Dovrefjell nasjonalpark |
| Kart: | Snøhetta 1519 IV |
| Geografisk beliggenhet: | Sør-Trøndelag fylke, Oppdal kommune |
| Høyde over havet: | 1437 m o.h. |
| Areal: | ca. 0,1 km ² |
| Berggrunn: | Metasandstein, skifer |
| Meteorologisk stasjon: | Fokstua, Aursjøen, Kongsvold |
| Vegetasjonsgeografisk region: | A-OC |
| Dominerende myrtyper: | Bekkedelta (ikke myr) med palslignende permafrost-formasjoner |
| Litteratur: | Matthews et al. 1997, Hofgaard 2008 |
| Satellittbilder: | Landsat TM/ETM/MSS fra 1976, 1987, 1988, 1999, 2002 |
| Flybilder: | 1963 serie 1431 (1:35000) bilde D13 1981 serie 7128 (1:15000) bilde D17 1982 serie 7584 (1:15000) bilde D16 |
| Fotodokumentasjon: | Matthews et al. 1997, Hofgaard 2008 |
| Adkomst: | Sti fra Snøheim |



Figur 6. Kartet viser lokaliseringen av Leirpullan nordøst for Snøhetta, samt vann, elver, bekker, større veier og fylkes-grenser.
© NINA 2013.

3.2 Klimadata

Innen en avstand på 16-35 km fra Leirpullan finnes det tre klimastasjoner (Fokstua, Kongsvold og Aursjøen), med registrering av ulike typer av klimadata og med ulike driftsperioder. Stasjonene ligger 465-570 høydemeter lavere enn Leirpullan, hvilket gjør representativiteten litt usikker. Fokstua brukes som sammenligning i denne rapporten. Stasjonen ble opprettet i 1923 og har lengst kontinuerlig dataserie av de tre. Den ligger på 972 m o.h., 25 km sør for Leirpullan. Fokstua har en registrert årsmiddeltemperatur på -0,2 °C og en årsnedbør på 447 mm for perioden 1961-1990 (data fra *met.no*). Mesteparten av nedbøren kommer om sommeren og høsten, og kun 20 % av nedbøren kommer om vinteren. Juli er varmeste måned med 9,9 °C og januar er den kaldeste med -9,2 °C.

Ved bruk av en generell temperaturforskjell på 0,6 °C per 100 meter høyde, kan temperaturen for nærliggende og høyeriggende steder beregnes. Etter en slik beregning for perioden 1961-1990 blir årsmiddeltemperaturen i Leirpullan ca. -3 °C, middeltemperaturen for juli ca. 7,1 °C og for januar ca. -12 °C. Disse beregningene blir selv sagt meget usikre, men gir en indikasjon på forholdene rundt 1440 m o.h. hvor Leirpullan ligger.

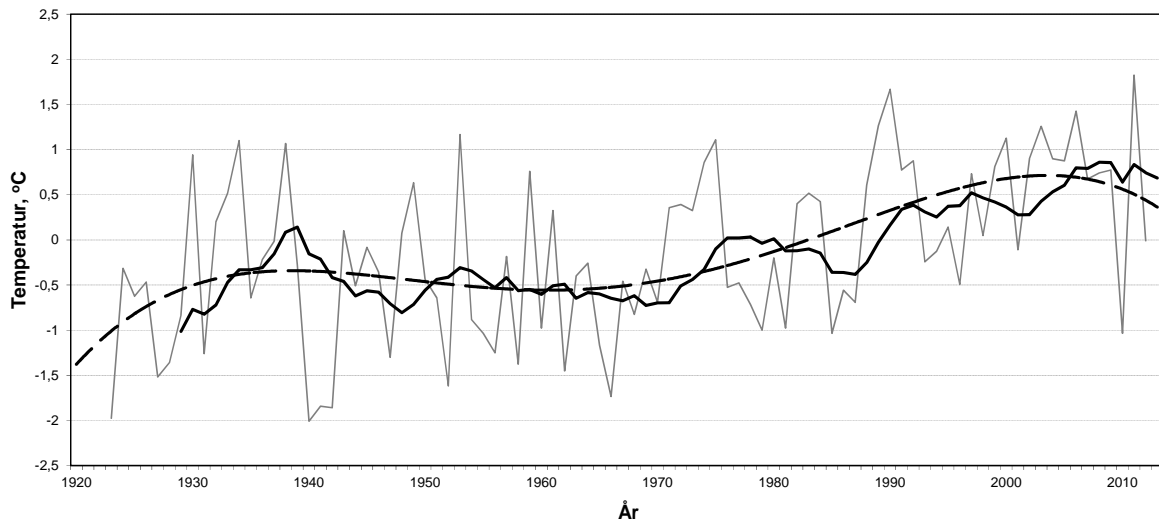
I tillegg til data fra lokale klimastasjoner vil også regionale og interpolerte klimadata brukes i de framtidige analysene av forandringer over tid. Sentrale parametere vil være forandringer i temperatur- og nedbørsregimer, sammen med forandringer i snødekk, vindstyrke og vindretning.

3.2.1 Temperatur

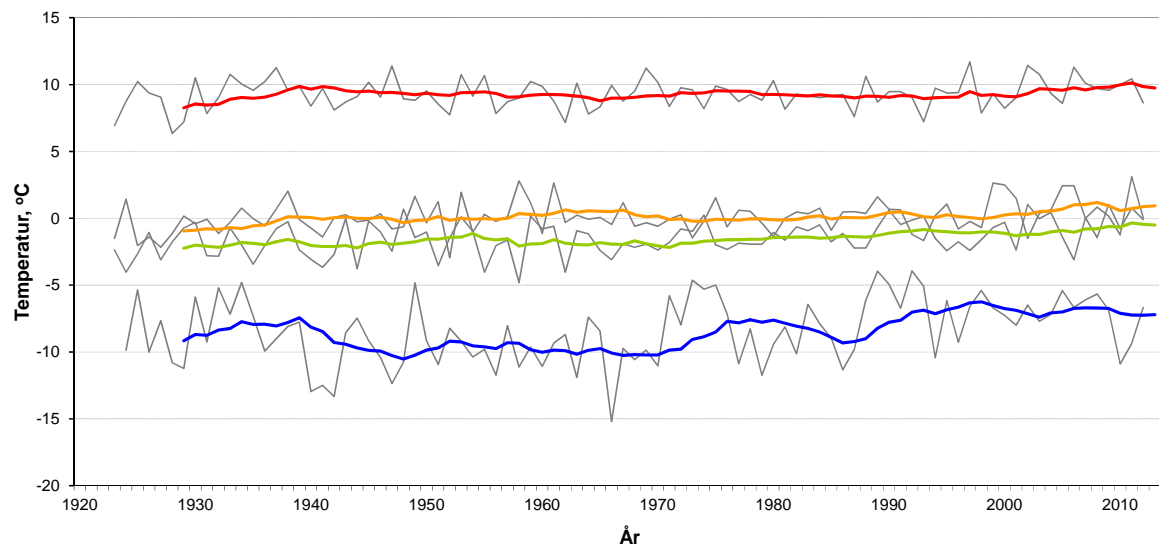
Ifølge data fra Fokstua viser temperaturutviklingen i området en økende trend for årsmiddel-verdien siden slutten av 1960-tallet, men området karakteriseres av sterke variasjoner mellom år og mellom perioder av år (**Figur 7**). De varmeste årene er 1990 og 2011 med 1,7 °C og 1,8 °C, og de kaldeste årene 1923 og 1940 med -2,0 °C. Begynnelsen av 1970- og 1990-tallet var varme perioder, mens 1960-tallet var preget av relativt kalde år.

Det er kun sommeren (juni-august) som har middeltemperaturer et godt stykke over null grader (**Figur 8**) med en middelverdi for hele perioden på 9,3 °C. Det er ingen tydelig trend i sommer-

temperaturens utvikling. Kun seks år er registrert med sommertemperaturer over 11 grader siden målingene startet, og den varmeste sommeren var 1997 med 11,7 °C. Middels høsttemperatur (september-november) er ca. 0,1 °C, men noen få år er registrert med temperaturer over 2,5 grader. Det er en svak trend med økende høsttemperaturer for de siste femten årene, og den varmeste registrerte høsten er 2011 med 3,1 °C. Vinteren (desember-februar) har den mest variable middeltemperaturen av sesongene og viser en tydelig stigende trend siden 1960-tallet, men med en utflating i senere tid. Den kaldeste vinteren i løpet av hele perioden er 1966 med -15,2 °C og den varmeste er 1992 med -3,9 °C. Perioden mars-mai (vår/vårvinter) viser en svakt økende trend over hele perioden men temperaturvariasjonene er relativt beskjedne. Kaldeste registrerte vår er 1958 med -4,8 °C og de varmeste er 2002 og 2009 med 1,0 °C.



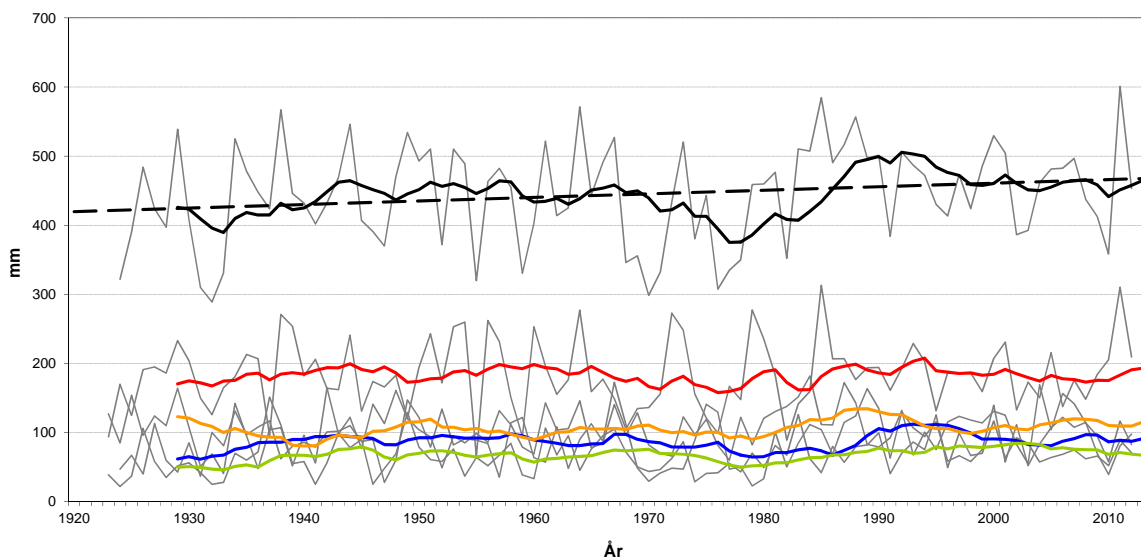
Figur 7. Årsmiddelverdier for temperatur fra Fokstua i perioden 1923 til 2012. Tykk linje viser utviklingen i løpende 10-årsmiddelverdi, og den stiplete linjen viser trenden for utvikling over hele perioden. Kilde: www.met.no. © NINA 2013.



Figur 8. Temperaturutvikling per årstid for Fokstua i perioden 1923 til 2012. De fargede linjene viser utviklingen i løpende 10-årsmiddelverdier for vinter-, vår-, sommer- og høsttemperatur. Kilde: www.met.no. © NINA 2013.

3.2.2 Nedbør

Områdets årsnedbør viser en generell økning fra ca. 420 mm i begynnelsen av måleperioden til ca. 470 mm i slutten av perioden (**Figur 9**). Økningen har vært relativt jevn, men med et par perioder med mindre nedbør rundt 1970 og 1976, og store årlige kontraster, særlig mellom 2010 og 2011 (en forskjell på 242 mm). Forandringene fordeler seg over alle de fire sesongene, men nedbøren varierer sterkt mellom sesonger og mellom år. Nesten halvparten av årsnedbøren kommer i sommerperioden (juni til august). Året med minst registrert nedbør siden målingene startet er 1932 med 289,0 mm, og året med mest registrert nedbør er 2011, med 600,9 mm.

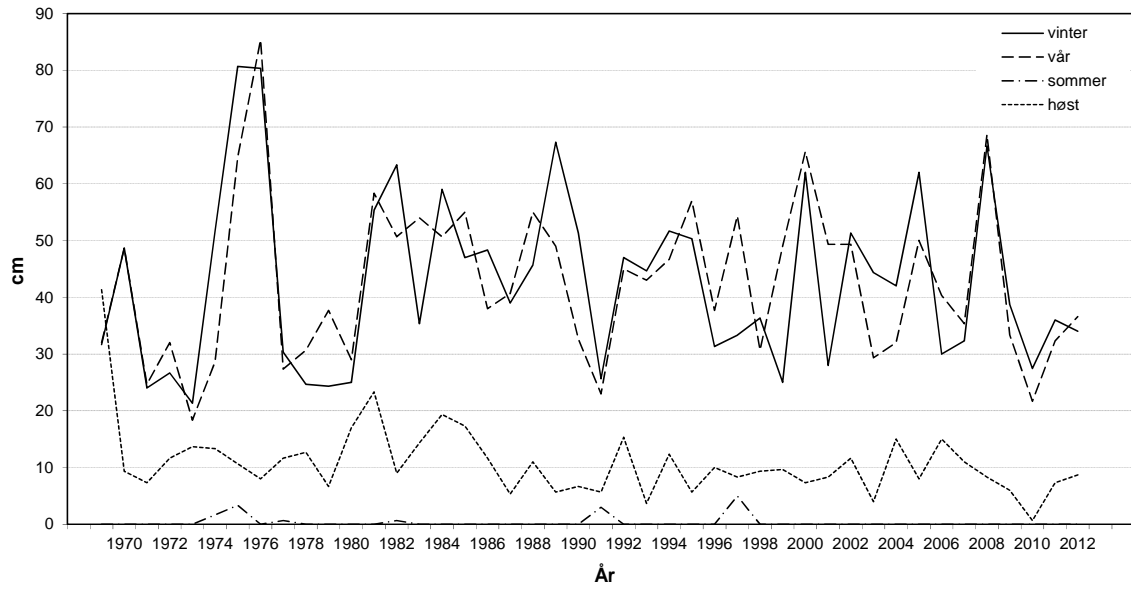


Figur 9. Nedbørsutvikling for Fokstua i perioden 1924 til 2012. De fargede linjene viser utviklingen i løpende 10-årsmiddelverdier for års-, vinter-, vår-, sommer- og høstnedbør, samt sort stiplet linje for lineær trend for årsverdiene over hele perioden. Kilde: www.met.no © NINA 2013.

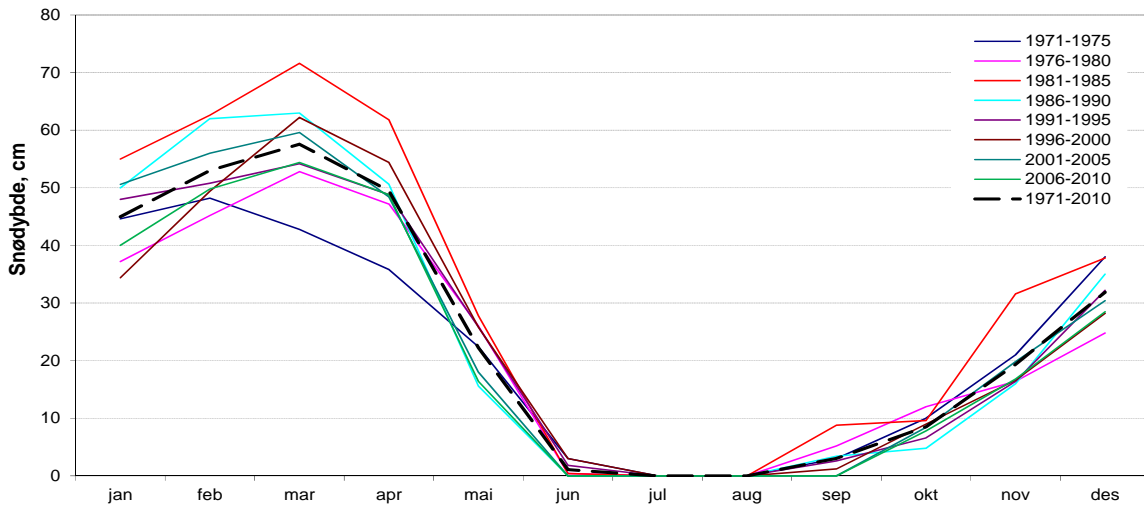
3.2.3 Snødybde

Det finnes snødybdedata for Fokstua for perioden 1969-2012. Området karakteriseres av store mellomårsvariasjoner i snømengde/snødybde (**Figur 10**). Mengden varierer også sterkt mellom tidsperioder (**Figur 11**). Særlig i løpet av 1970-tallet er det store forskjeller mellom årene. Det er ingen tydelige trender for hele perioden, men en tendens til redusert snødybde om høsten og økt snødybde om våren.

Snøakkumulasjonen begynner de fleste år i september og pågår fram til og med mars måned (**Figur 11**). Enkelte år er den akkumulerte snødybden kun 20 cm, mens den i snørike år kan gå opp til mer enn 80 cm (**Figur 10**). Den raskeste snøsmeltingsperioden er i mai. Sett over hele perioden er kun juli og august registrert uten snødybde, men de enkelte år er for det meste uten snødekke i perioden juni til september. Den lengste snøfrie perioden er registrert for 2010 og 2011, da hele seks måneder (juni til oktober) var uten snødekke.



Figur 10. Snødybde for Fokstua i perioden 1969 til 2012 presentert som sesongvise middelverdier av største snødybde for enkeltmåneder. Kilde: www.met.no. © NINA 2013.



Figur 11. Snødybdeutvikling gjennomr året for Fokstua presentert som middelverdier for femårsperioder (fargelinjer) og for hele perioden 1971 til 2010 (sort stiplet linje). Verdiene er beregnet fra data for største registrerte snødybde per måned. Kilde: www.met.no. © NINA 2013.

3.3 Fly- og satellittbilder

Det finnes flybilder for Leirpullan fra 1963 i skalaen 1:35000 og fra 1981 og 1982 i skalaen 1:15000. Det finnes ingen bilder etter 1982. Skalaen 1:35000 er imidlertid ikke finskala nok for å analysere utviklingen i Leirpullan i sin helhet eller i detalj. Dette grunnet områdets og palsstrukturenes begrensede størrelse. Flybilder og informasjon om tilgjengelige bilder stammer fra TerraTec AS ved Statens kartverk (se www.terrateg.no).

Satellittbilder finnes fra begynnelsen av 1970-tallet og utgjør dermed et ca. 30-årig grunnlag for kontinuerlig overvåking av utviklingen. Bildene gir likevel bare en grov indikasjon på tilstedeværelse av palsformasjoner eller tidligere tilstedeværelse av palsformasjoner som har gitt opphav

til større dammer i palsområdene. Strukturelle forandringer på en skala mer egnet for overvåkingsprogrammet kan skaffes via høyoppløselige satellittbilder (for eksempel Quickbird), men disse medfører en meget stor kostnad (se "Appendix I" i Hofgaard 2003, Lauknes et al. 2012, og Wramner et al. 2012 for mer informasjon om muligheter med satellittbilder). Utviklingen innen satellittbildeteknologien er rask, og tilgjengeligheten til høyoppløselige bilder endres stadig. Dette gjør at teknologien sannsynligvis vil danne et godt fremtidig verktøy innen palsmyr-overvåking.

3.4 Overvåkingsdata fra 2007

3.4.1 Palsformasjoner

Palsene i Leirpullan danner større og mindre øyer som sammen med sandområder uten permafrost bygger opp et bekkedelta. Øyene eller mineralpalsene karakteriserer området sammen med levninger fra tidligere palser som vises i form av dammer og sandvoller med eller uten permafrost. Palser fantes i 2007 i alle utviklingsstadier fra relativt unge til gamle palser i ulike faser av degenerering (se **Vedlegg 1** for detaljert beskrivelse av palsdynamikk og ulike utviklingsstadier). Mesteparten av palsene og mark uten permafrost er dekket av vegetasjon (**Figur 4**), men noen av palsene karakteriseres av bruddkanter med sand og sandblokker uten vegetasjon (**Figur 2**). Ved målingene i 2007 ble vegetasjonen og humuslaget på palsene som regel registrert med bare noen få centimeters tykkelse, men i områder uten permafrost kunne tykkelsen på bunnsjikt og humussjikt tilsammen være noen desimeter.

25 palser ble i 2007 nummerert og registrert for å inngå i overvåkingen (**Figur 12**). Noen av disse palsene danner større palskomplekser. Dette gjelder særlig to områder med sammenvokste palser: Område 1 med palsene 1, 2, 13, 14, og 15; og område 2 med palsene 3, 4, og 5. De fleste linjene for palsstrukturanalyse ble plassert innen disse to områdene (se avsnitt 3.4.3). Palsene 1-7 inngikk i studiene fra 1995 og nummereringen av disse følger Matthews et al. (1997). Detaljer for de individuelle palsenes høyde, lengde, bredde og teledybde er gitt sammen med resultater for 2012 i avsnitt 4.1. Samlet varierte palsenes høyde i 2007 mellom noen få desimeter til ca. 2 meter med en middelverdi på 117 cm. Middelstørrelsen på palsene var ca. 400 kvadratmeter, men variasjonen var stor.



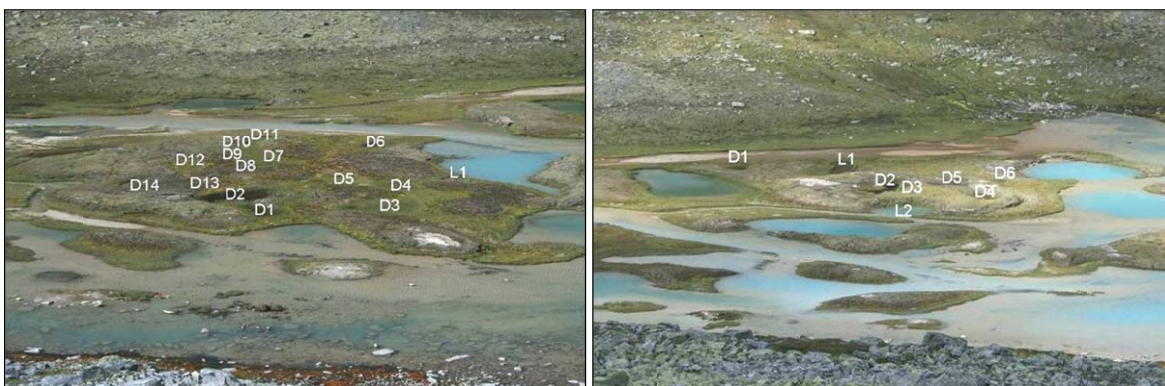
Figur 12. Leirpullan med palser og deres identifikasjonsnummer. 1-7 er de samme som ble brukt i 1995 (Matthews et al. 1997); x er ikke inkludert i rapporten. Brevann strømmer gjennom Leirpullan fra venstre til høyre i bildet. Foto: A. Hofgaard, 2007. © NINA 2013.

I 2007 var middeldybden for telens posisjon på palsene ved målingstidspunktet 103 cm, med en variasjonsbredde på 65-175 cm. En sammenligning mellom målt palshøyde og teledybde viste at det ikke forelå noen sammenheng mellom de to målene. Det betyr at uavhengig av om

palsene i hovedsak ligger under vannoverflaten eller om de hever seg noen meter over vannoverflaten, så var dybdeavstanden til telen den samme i 2007.

3.4.2 Dammer og vannfliker

Dammer på palsene representerer områder med palsdegenerering. Forekomst av dammer er en del av den naturlige palsdynamikken og deres antall og størrelse varierer med forandringer i klimaet. Voksende dammer vil med tiden bryte palsens form og danne vannfliker. I 2007 ble i alt 20 dammer og 3 vannfliker nummerert og dokumentert innen område 1 og område 2 (**Figur 13**). Dammene var i gjennomsnitt 27 m² og 30 cm dype, men variasjonen var stor. Vannflikene var større og dypere. Noen av de mindre dampmene var dekket av myrull og/eller torvmose.

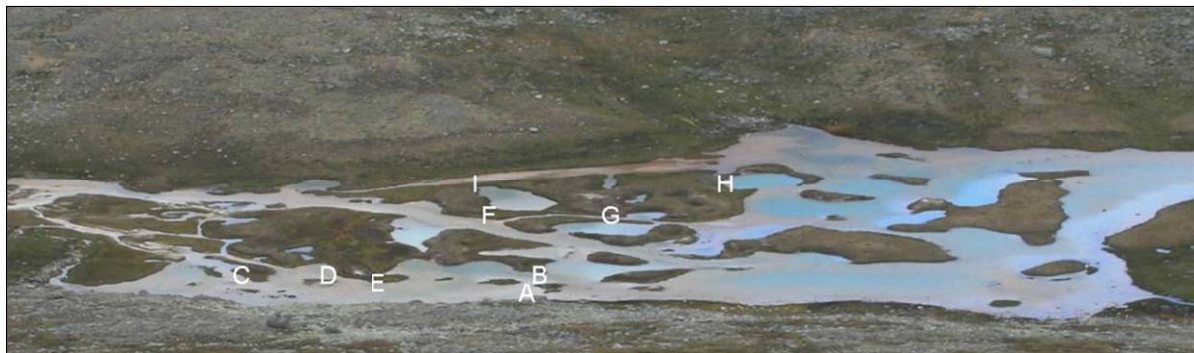


Figur 13. Dam- og flikposisjoner innen palsområde 1 (venstre bilde) og palsområde 2 (høyre bilde). Foto: A. Hofgaard, 2007. © NINA 2013.

3.4.3 Linjeanalyser

I 2007 ble til sammen ni linjer plassert ut innen overvåkingsområdet i Leirpullan (**Figur 14**): tre innen palsområde 1; fire innen område 2, og to krysset en mindre pals. Den totale linjelengden er på 371 meter. Detaljer for linjenes plassering, lengde og trekk er redegjort for i **Tabell 2**. Fordeling av tele, markslag, bunn-, felt- og busksjiksatsvegetasjon, samt palsenes høyde over omkringliggende vann er presentert i de enkelte linjefigurene i rapporten for 2007 (Hofgaard 2008), sammen med fotografier fra utvalgte fotopunkter langs linjene. Linjene ble plassert slik at de fanger opp mest mulig av variasjonen i Leirpullan-området.

Anallysen av linjene A og B, som krysser pals 8, viste i 2007 en raskt minkende pals med en markert og dominerende bruddkant (se **Figur 12** for palsposisjon). Telen langs de to linjene lå i gjennomsnitt ca. 120 cm under palsoverflaten og i sin helhet under nivået for vannoverflaten. Linje C krysser tre palsformasjoner: pals 24, 15 og en unummerert del av område 1. Telen langs denne linjen lå også i gjennomsnitt på 120 cm, men på det grunnestes lå telen 75 cm under palsoverflaten. Kun på et sted der palshøyden var over 1 meter, lå telenivået over nivået for vannoverflaten. Telen langs linje D, som krysser pals 2 og 1, lå i gjennomsnitt på 90 cm under palsoverflaten. I palsenes høyeste partier lå telen over nivået for vannoverflaten. Analysen av linje E, som krysser pals 2 langs dens lengderetning, viste i 2007 fragmentert tele ved linjens bruddkantsområde. Gjennomsnittsdybden for telen langs linjen var ca. 110 cm, med mesteparten av telen under nivået for vannoverflaten. Langs linjene F og I, som begge krysser pals 3, forekom telen over det omkringliggende vannnivået kun i palsens høyere deler. Gjennomsnittsdybden var ca. 110 cm. Linjene G og H ble i 2007 plassert slik at de krysser den større delvis fragmenterte pals 4 med dammer og forsenknings. Grunnet palsens høyde ligger store deler av telenivået over nivået for vannoverflaten, men telen var fraværende i områder med forsenknings og dammer. Gjennomsnittsdybden for telen lå på ca. 140 cm under palsoverflaten.



Figur 14. Figuren viser omtrentlig posisjon for palsstrukturlinjenes startpunkter. Foto: A. Hofgaard, 2007. © NINA 2013.

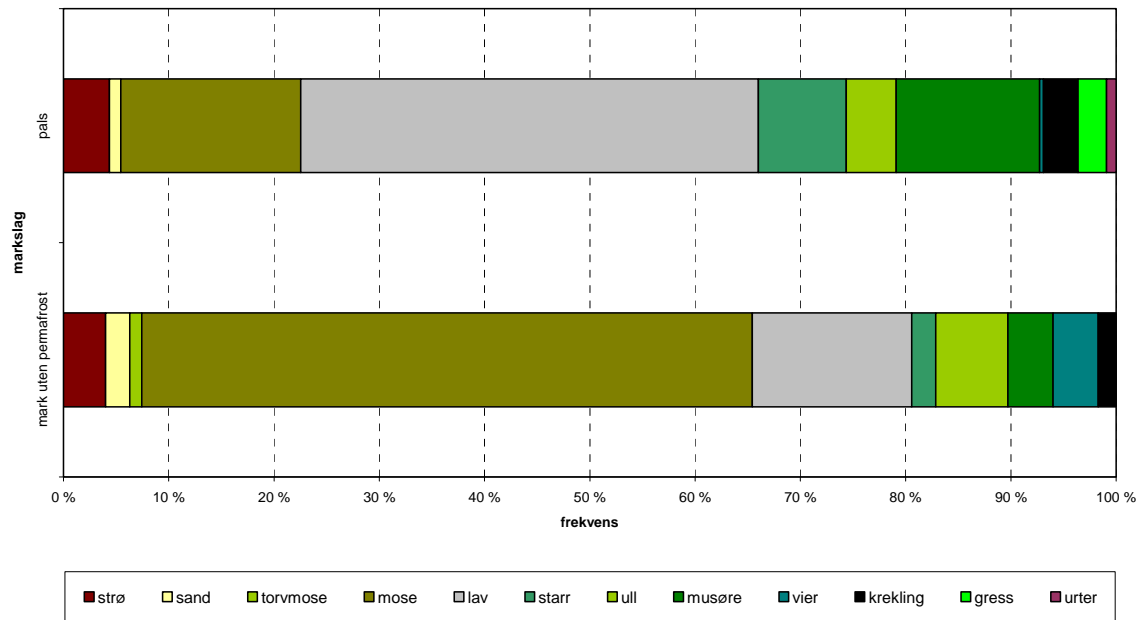
Tabell 2. Analyselinjenes plassering, lengde og trekk. © NINA 2013.

| Linje-navn | Lengde (m) | Linjestart | Linjeslutt | Retning (°) | Tykkelse* bunnssjikt og humussjikt (cm) | Kommentarer |
|------------|------------|------------|------------|-------------|---|---------------------------|
| A | 8 | innsjøkant | innsjøkant | 46 | 1 (1) | krysser pals 8 og linje B |
| B | 25 | innsjøkant | sten | 112 | 0,8 (0-1) | krysser pals 8 og linje A |
| C | 72 | innsjøkant | innsjøkant | 47 | 6,9 (0-30) | krysser palsområde 1 |
| D | 41 | innsjøkant | innsjøkant | 36 | 6,8 (0-25) | krysser pals 2 og 1 |
| E | 40 | innsjøkant | dam | 335 | 5,0 (0-20) | krysser pals 2 |
| F | 44 | innsjøkant | innsjøkant | 355 | 3,1 (0-10) | krysser pals 3 |
| G | 59 | innsjøkant | innsjøkant | 65 | 4,2 (0-15) | krysser pals 4 |
| H | 63 | innsjøkant | dam | 265 | 2,6 (0-10) | krysser pals 4 |
| I | 19 | dam | innsjøkant | 232 | 1,4 (0-3) | krysser pals 3 |

* middelverdier og spennvidde

3.4.4 Artsfrekvens

Finskalavariasjon i bunn-, felt- og busksjiktsvariabler ble i 2007 analysert langs 18 tilfeldig plasserte linjer innen område 1 og 2. De samme variablene som ble analysert langs de lengre palsstrukturlinjene (se **Tabell 1**), er registrert for artslienjene, men lyngvariabelen er spesifisert til art. De 18 linjene fordelte seg på markslagene pals (11) og mark uten permafrost (7). De to markslagene er de eneste som er representert i området foruten smale kantsoner ved vann og rundt noen av dammene. Disse kantsonene domineres av myrull (*Eriophorum* spp.), men er ikke representert med artslienjeanalyser. Artsdominansen for de to analyserte markslagene avviker fra hverandre ved at palsene karakteriseres av lav, stivstarr (*Carex bigelowii*), musøre (*Salix herbacea*) og en del gress og urter (**Figur 15**). Mark uten permafrost karakteriseres av mose og en del myrull og vier. Vieren er lavvokst, men danner på noen få plasser et glissent busksjikt. Bunnssjiktets tykkelse er også forskjellig mellom de to markslagene. På palsene er bunnssjiktet for det meste <5 cm tykt og på mark uten permafrost opp til 25-30 cm tykt.



Figur 15. Frekvensfordeling av bunn-, felt- og busksjiksatsvariabler i 2007 (se Tabell 1 for detaljer) for markslagene pals og mark uten permafrost. © NINA 2013.

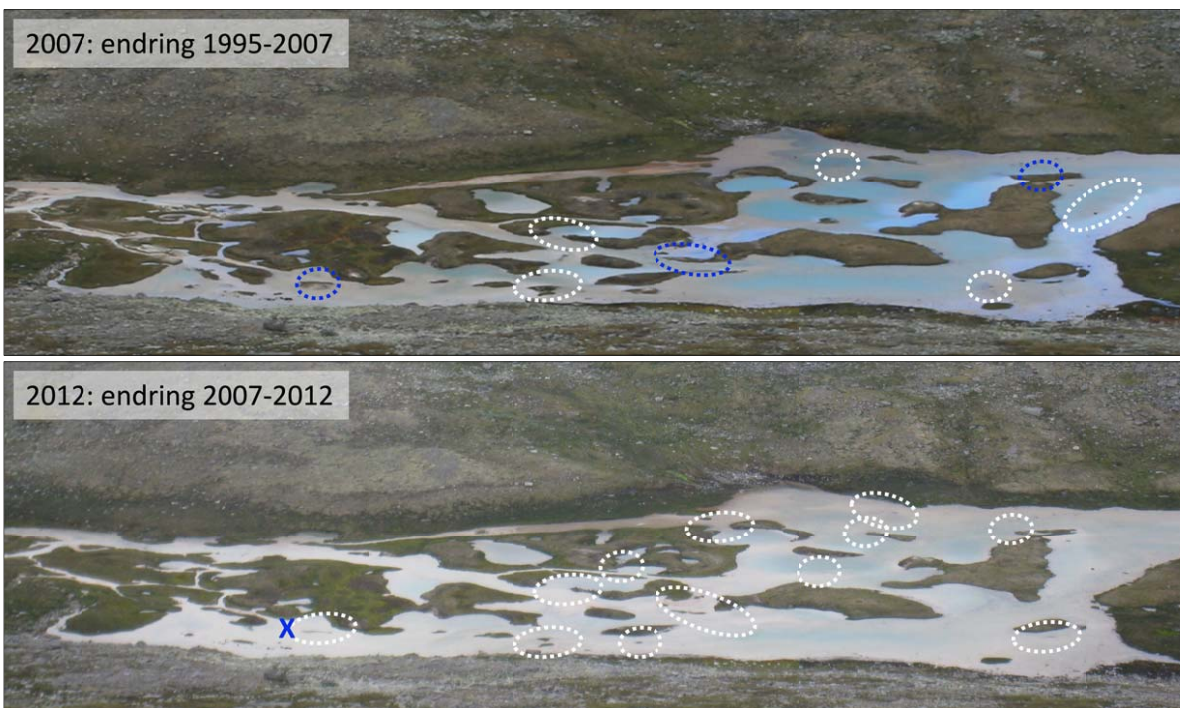
3.5 Datainnsamling 2012

Datainnsamlingen ble i 2012 utført på samme måte som i 2007 og i henhold til de beskrevne metodene (se avsnitt 2.2). Artsfrekvens langs de tilfeldig valgte 5-meterslinjene (artslinjer; se avsnitt 3.4.4) ble i 2012 kun registrert for linjer som representerer palsoverflaten (17 linjer). Datainnsamlingsperioden i 2012 (6.-9. august) var noen dager senere enn i 2007 (2.-6. august).

4 Resultat

4.1 Palsformasjoner

Utbredelsen, det vil si antall og størrelse, av palsene i Leirpullan har blitt redusert både i perioden 1995 til 2007 og fra 2007 til 2012, men reduksjonen er størst i den senere perioden (**Figur 16**). Av de palsformasjonene som ble registrert i 1995 og 2007 eksisterte de fleste fortsatt i 2012, men seks er helt borte. For enkelte mindre gjenværende palsformasjonene er kun små deler igjen. Forandringen har i tillegg til reduksjon i størrelse og antall medført en fragmentering av de større palsformasjonene, og da særlig i de sentrale delene av Leirpullan. Fragmenteringen, som er forårsaket av tele som tinet, er karakterisert av palsdegenerering (**Figur 2, 3 og 16**) og vekst av dammer (se avsnitt 4.2). Selv om palsdegenerering har vært dominerende i løpet av analyseperioden, så har nydanning av palser forekommet, om enn i meget begrenset omfang (**Figur 16**). Disse palsene er tilsvarende kortlivede. Palser som ble registrert som nye i 2007 er tinet i 2012, og i 2012 ble kun én ny pal registrert. Den dannet en liten sandøy uten vegetasjon og hevet seg kun 10 cm over vannoverflaten.

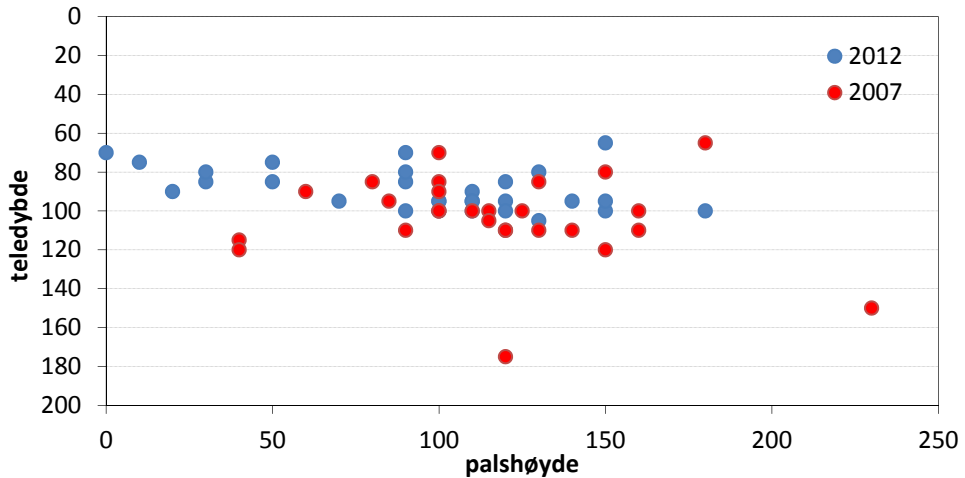


Figur 16. Leirpullan 3. august 2007 og 6. august 2012. Blå sirkler viser områder hvor palsene økte i størrelse og hvite sirkler viser områder med reduksjon eller hvor palser har blitt borte i de to analyserede periodene. X i den vestre delen av Leirpullan markerer en ny palsformasjon som danner en lav sandøy noen titalls meter fra en pal som har tinet og blitt borte siden 2007. Foto: A. Hofgaard. © NINA 2013.

Palsenes reduksjon i størrelse har medført at middelstørrelsen er redusert med 23 % i perioden 2007 til 2012 og middelhøyden med 16 % (19 cm) (**Tabell 3**). Den samme trenden vises imidlertid ikke for telenivået. I 2012 lå telen 14 cm nærmere palsoverflaten enn i 2007, men variasjonen er stor mellom de enkelte palser.

Middeldybden for telens posisjon på palsene var ved målingstidspunktene i 2007 og 2012 henholdsvis 103 cm og 89 cm, med en variasjonsbredde på henholdsvis 65-175 cm og 65-105 cm (**Tabell 3**). En sammenligning mellom målt palshøyde og teledybde i de to årene viser at det

ikke foreligger noen sterk sammenheng mellom palshøyde og teledybde (**Figur 17**). Det er kun en svak tendens til at telen ligger dypere i høyere palser. Den svake sammenhengen betyr at uavhengig av om palsens største del ligger under vannoverflaten eller om den hever seg noen meter over vannoverflaten, så er dybdeavstanden til telen nesten den samme (**Figur 17**).



Figur 17: Forholdet mellom palsenes høyde og telens dybdeposisjon i 2007 og 2012. Palshøyde angir høyde over vannoverflaten. © NINA 2013.

Tabell 3: Middelverdier for palsenes høyde over omkringliggende vann, størrelse og teledybde for 2007 og 2012, og endringer i perioden. Variasjonsbredde og standardavvik ti kursivt. © NINA 2013.

| | 2007 | 2012 | Endring 2007-2012 |
|---------------------------------|---------|--------|----------------------|
| Høyde, cm | | | |
| middelverdi | 117 | 98 | -19 |
| variasjonsbredde | 40-230 | 10-180 | -70 - 10 |
| standardavvik | 40 | 42 | 18 |
| Størrelse, m² | | | |
| middelverdi | 402 | 310 | -92 |
| variasjonsbredde | 36-4575 | 7-2363 | -537 - -97 |
| standardavvik | 615 | 511 | 110 |
| Teledybde, cm | | | |
| middelverdi | 103 | 89 | -14 |
| variasjonsbredde | 65-175 | 65-105 | -95 - 80 |
| standardavvik | 22 | 11 | 23 |

4.2 Dammer og vannfliker

Plassering for individuelle dammer og vannfliker er vist i avsnitt 3.4.2. Her presenteres kun forandringerne i perioden 2007 til 2012 ved hjelp av statistikk for størrelse basert på målinger av lengde og bredde, og for dybde basert på målinger i det dypeste området av de enkelte dammer og vannfliker. Fotoeksempler gis for tre av dammene.

Både dammene og vannflikene har økt i størrelse i perioden 2007 til 2012, men variasjonsbredden er stor (**Tabell 4**). Forandringene er størst for dampene som i 2012 hadde ca. 63 % større overflate enn i 2007, og var i gjennomsnitt 13 cm dypere. De største forandringene har skjedd i palsområde 2 som domineres av noen av de høyeste palsene i Leirpullan. Innen dette området har én mindre og grunn damp på en av de større palsene vokst betydelig i både størrelse og dybde i perioden 2007 til 2012. (**Figur 18**). Innen samme område har en annen voksende damp skilt to tidligere sammenvokste palser, og vil sannsynligvis innen noen få år vokse sammen med nærliggende vannflik (**Figur 19**). Dammer i områder uten eller nesten uten permafrost viser kun små forandringer i størrelse eller dybde mellom 2007 og 2012 (**Figur 20**).



Figur 18: En mindre damp på en av de større palsene i Leirpullan har vokst betydelig i både størrelse og dybde i perioden 2007 til 2012. Foto: A. Hofgaard. © NINA 2013.



Figur 19: Dammen innen ett av de større palsområdene i Leirpullan. Dammen har vokst kraftig i perioden 2007 til 2012 og vil innen noen få år sannsynligvis vokse sammen med nærliggende vannflik. Foto: A. Hofgaard. © NINA 2013.



Figur 20: Dammer i områder uten eller nesten uten permafrost viser kun små forandringer i størrelse eller dybde mellom 2007 og 2012. Foto: A. Hofgaard. © NINA 2013.

Tabell 4: Middelverdier for dammenes og vannflikenes størrelse og dybde (kun for dammer) i 2007 og 2012, og endringer i perioden. Variasjonsbredde og standardavvik i kursiv. © NINA 2013.

| | 2007 | 2012 | Endring 2007-2012 |
|---------------------------------|------------|------------|----------------------|
| Dammer | | | |
| Størrelse, m² | | | |
| middelverdi | 27 | 44 | 18 |
| variasjonsbredde | 0,3-97,5 | 0,7-233,7 | -38,2-173,7 |
| standardavvik | 31 | 60 | 46 |
| Dybde, cm | | | |
| middelverdi | 29 | 42 | 13 |
| variasjonsbredde | 5-80 | 10-100 | -5-65 |
| standardavvik | 20 | 24 | 17 |
| Vannfliker | | | |
| Størrelse, m² | | | |
| middelverdi | 99 | 103 | 5 |
| variasjonsbredde | 13,7-159,5 | 12,2-257,6 | -82,9-98,1 |
| standardavvik | 62 | 110 | 74 |

4.3 Linjeanalyser

Plassering og trekk for individuelle linjer er vist i avsnitt 3.4.3. Her presenteres kun forandringene i perioden 2007 til 2012 ved hjelp av statistikk for forekomst av tele, teledybde, markslag, sprekker og vegetasjon for alle linjene. Detaljerte figureksempler gis for tre av linjene.

4.3.1 Tele og markslag

Antall meter med tele langs analyselinjene, sammenlagt for alle linjene i Leirpullan, har økt med 27 % i perioden 2007 til 2012. Økningen av tele fordeler seg forholdsvis jevnt mellom linjene. I 2012 hadde 73 % av den totale linjelengden tele, mot kun 57 % i 2007 (**Tabell 5**). Den største økningen i frekvens har skjedd langs linje D, og den største økningen i antall meter langs linje G. Økningen i teleutbredelse skyldes trolig i hovedsak forskjeller mellom enkelte år. Det kan imidlertid ikke utelukkes at forskjellene er en del av en ny trend, selv om utviklingen av palsene siden 2007 indikerer det motsatte. Størrelsen og høyden på de ulike palsformasjonene (**Tabell 3**) tyder også på at den dominerende trenden er reduksjon i permafrost.

Middeldybden for telens forekomst langs palsdelene av analyselinjene var ved målingstidspunktet i 2012 ca. 83 cm med en standardavvik på 15 cm (**Tabell 5**). Sammenlignet med posisjonen i 2007 representerer dette en heving av middeldybden for telenivået med 28 cm, men det er relativt store variasjoner mellom og innen linjene. Minste oppmålte teledybde for linjene er også hevet med i gjennomsnitt 19 cm (**Tabell 5**).

Tabell 5. Telens fordeling, frekvens og dybde for linjene. © NINA 2013.

| Linje- navn | Lengde, m | Antall, m | | Frekvens | | Gj.snitt dyp, cm* | | Maks. dyp, cm* | | Min. dyp, cm* | | St.dev dyp, cm | |
|----------------|--------------|-----------|------|----------|------|-------------------|------|----------------|-------|---------------|------|----------------|------|
| | | 2007 | 2012 | 2007 | 2012 | 2007 | 2012 | 2007 | 2012 | 2007 | 2012 | 2007 | 2012 |
| A | 8 | 5 | 7 | 62,5 | 87,5 | 116,0 | 78,6 | 145 | 85 | 100 | 70 | 17,8 | 6,9 |
| B | 25 | 5 | 8 | 20,0 | 32,0 | 120,0 | 81,9 | 180 | 90 | 100 | 75 | 30,5 | 5,0 |
| C | 72 | 35 | 40 | 48,6 | 55,6 | 120,7 | 83,3 | 195 | 120 | 75 | 65 | 35,7 | 11,5 |
| D | 41 | 27 | 39 | 65,9 | 95,1 | 89,3 | 81,3 | 160 | 165 | 60 | 55 | 25,2 | 25,6 |
| E | 40 | 27 | 35 | 67,5 | 87,5 | 111,9 | 83,0 | 170 | 100 | 85 | 55 | 19,7 | 12,7 |
| F | 44 | 36 | 39 | 81,8 | 88,6 | 112,4 | 83,7 | 165 | 100 | 90 | 60 | 16,3 | 9,6 |
| G | 59 | 35 | 50 | 59,3 | 84,7 | 83,7 | 75,2 | 135 | 160 | 40 | 35 | 29,5 | 31,8 |
| H | 63 | 26 | 31 | 41,3 | 49,2 | 137,1 | 87,3 | 195 | 150 | 85 | 50 | 25,0 | 24,2 |
| I | 19 | 13 | 15 | 68,4 | 78,9 | 105,0 | 90,3 | 115 | 100 | 90 | 75 | 7,6 | 7,4 |
| Sum/gj.snitt | | 209 | 264 | 57,3 | 73,2 | 110,7 | 82,7 | 162,2 | 118,9 | 80,6 | 60,0 | 23,0 | 15,0 |

*Beregninger basert kun på metre hvor tele forekommer

Markslagsfordelingen langs linjene viser en del tydelige forandringer i overvåkingsperioden (**Tabell 6**). De mest markante endringene er økningen av markslagene dam og vann, og reduksjon av bruddkant. Frekvensen av dam og vann er nesten fordoblet i løpet av analyseperioden 2007 til 2012, og bruddkant er redusert med to tredjedeler. Frekvensen av pals, som er det dominerende markslaget, har vært nesten konstant, og utgjør ca. 60 % av linjene. Vegetasjonsdekte områder uten permafrost viser kun marginale endringer. Økningen av damfrekvens er først og fremst forårsaket av gjengroing og vekst av dammer langs linjen H. Økningen i markslagstypen vann er forårsaket av at palsformasjonen som krysses av linjene A og B har senket seg betraktelig i perioden 2007 til 2012 (**Figur 21**). Flere detaljer for markslagsforandringer i perioden 2007 til 2012 per linje er presentert i **Tabell 6**, og eksempler fra tre av linjene er presentert **Figur 22-30**.

Tabell 6. Endring i markslagsfordeling for individuelle analyserte linjer, angitt i antall meter og frekvens (%; i parentes). Markslag som har økt i perioden, er markert med fet skrift i totalberegningen og reduksjon er markert med kursiv rød skrift. © NINA 2013.

| Markslag | A | | B | | C | | D | | E | |
|-----------------|---------|---------|---------|---------|---------|---------|---------|---------|------------|-----------------|
| | 2007 | 2012 | 2007 | 2012 | 2007 | 2012 | 2007 | 2012 | 2007 | 2012 |
| pals | 5 (63) | 2 (25) | 4 (16) | 3 (12) | 36 (50) | 35 (49) | 28 (68) | 29 (71) | 22 (55) | 33 (83) |
| dam | 0 | 0 | 0 | 0 | 16 (22) | 17 (24) | 0 | 0 | 1 (3) | 0 |
| tidligere pals* | 0 | 0 | 3 (12) | 0 | 12 (17) | 14 (19) | 8 (20) | 12 (29) | 10 (25) | 7 (17) |
| vann** | 1 (13) | 6 (75) | 16 (64) | 21 (84) | 4 (6) | 6 (8) | 0 | 0 | 0 | 0 |
| bruddkant | 2 (25) | 0 | 2 (8) | 1 (4) | 4 (6) | 0 | 5 (12) | 0 | 7 (18) | 0 |
| Markslag | F | | G | | H | | I | | Total A-I | |
| | 2007 | 2012 | 2007 | 2012 | 2007 | 2012 | 2007 | 2012 | 2007 | 2012 |
| pals | 38 (86) | 39 (89) | 37 (63) | 37 (63) | 37 (59) | 29 (46) | 14 (74) | 18 (95) | 221 (59,6) | 225 (60,6) |
| dam | 0 | 0 | 0 | 0 | 5 (8) | 15 (24) | 0 | 0 | 22 (5,9) | 32 (8,6) |
| tidligere pals* | 6 (14) | 5 (11) | 18 (31) | 16 (27) | 18 (28) | 17 (27) | 0 | 0 | 75 (20,2) | 71 (19,1) |
| vann** | 0 | 0 | 0 | 0 | 0 | 0 | 1 (5) | 1 (5) | 22 (5,9) | 34 (9,2) |
| bruddkant | 0 | 0 | 4 (7) | 6 (10) | 3 (5) | 2 (3) | 4 (21) | 0 | 31 (8,4) | 9 (2,4) |

*mark med vegetasjon men uten permafrost

** innsjøvann som omkranser palsene



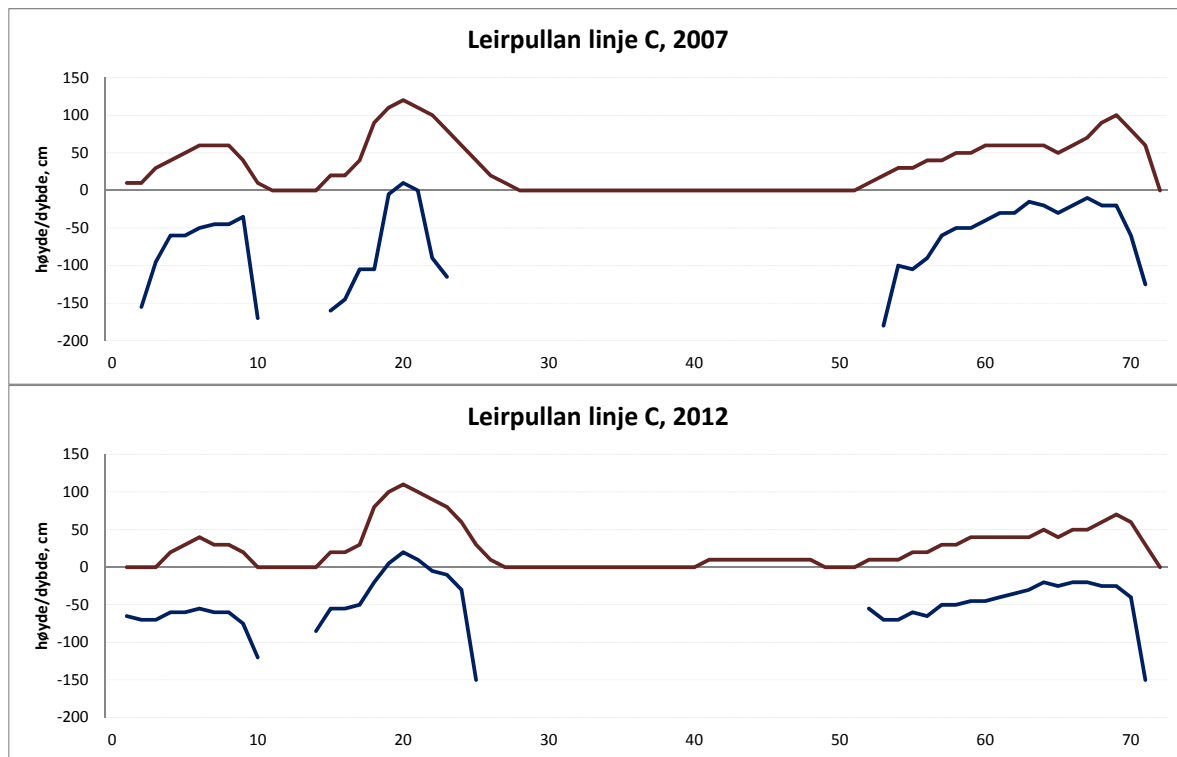
Figur 21: En av de mindre palsene i Leirpullan viser en betydelig reduksjon i størrelse i perioden 2007 til 2012. Palsen krysses av linjene A og B. Vannstanden var noe høyere i 2012 enn i 2007. Foto: A. Hofgaard. © NINA 2013.

4.3.2 Sprekkfrekvens

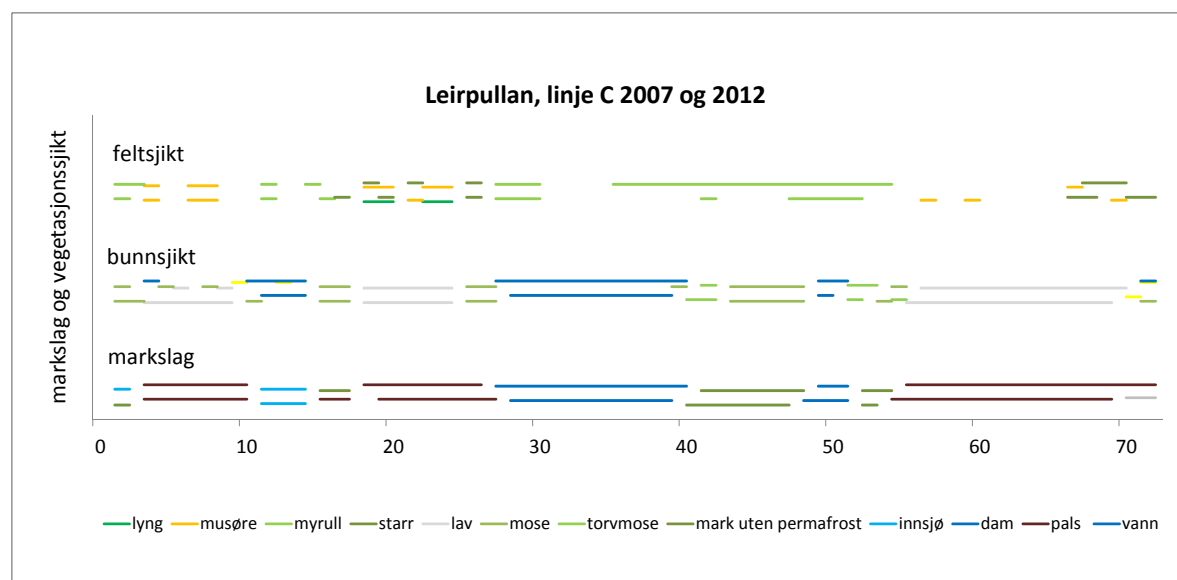
Antallet sprekker per meter viser en tydelig nedgang i løpet av analyseperioden, men endringen varierer mellom breddeklassene (**Tabell 7**). Antallet små sprekker viser størst reduksjon samtidig som store sprekker har økt, men den mest dominerende endringen i løpet av analyseperioden er redusert bruddkantfrekvens. Reduksjonen i små sprekker skyldes forandringer langs nesten alle linjene, men først og fremst langs linje D, E og G. Reduksjon i antall meter med bruddkant er registrert langs alle linjene unntatt linje G. Dette skyldes først og fremst at mange av palsenes kanter er lavere i 2007 enn 2012 og at deler av bruddkanter fra 2007 har rast sammen og forsvunnet ned i tilgrensende dammer.

Tabell 7. Frekvens av sprekker langs linjene, fordelt på sprekkbredde og antall per meter totalt for linjene og per breddekategori. Bruddkant er gitt i total lengde (m) og inngår ikke i beregningen av antall sprekker per meter. © NINA 2013.

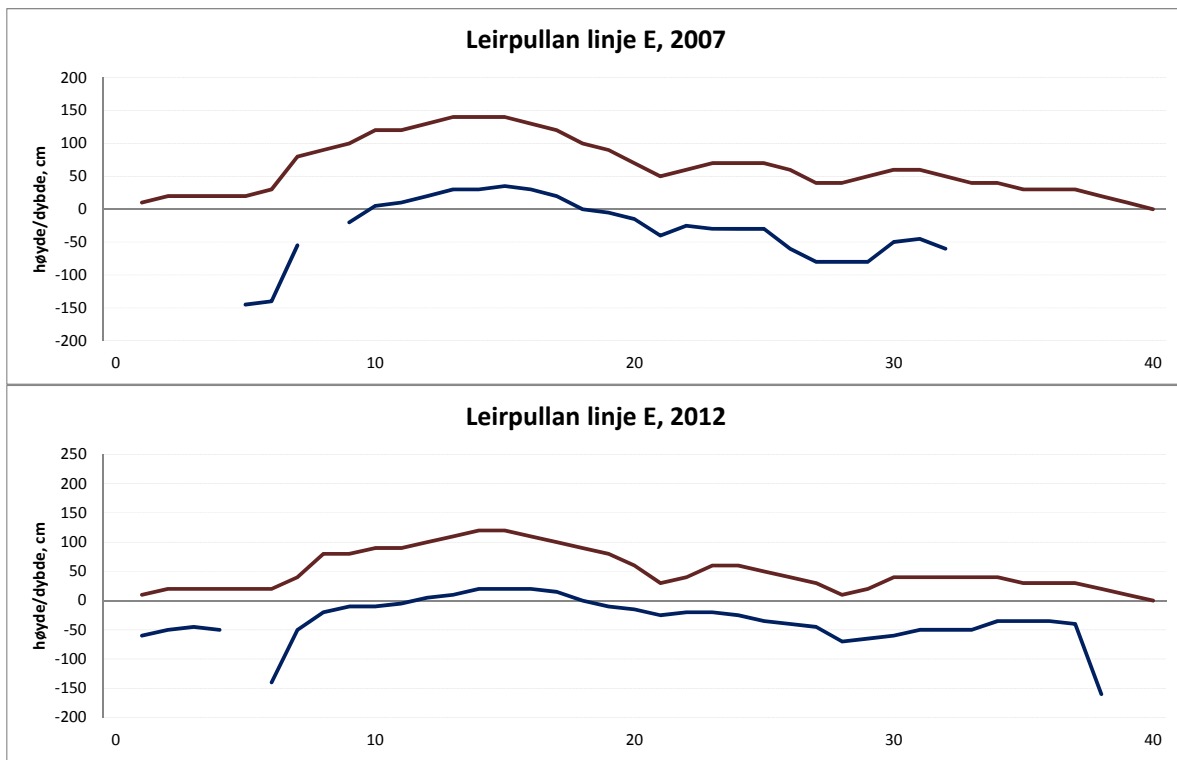
| Linje- navn | Lengde, m | Antall sprekker | | | | | | Antall per kategori | | | | | |
|----------------|--------------|-----------------|------|-------|------|--------|------|---------------------|------|----------|------|----------|------|
| | | Totalt | | pr. m | | 0-5 cm | | 6-10 cm | | 11-20 cm | | 21-50 cm | |
| | | 2007 | 2012 | 2007 | 2012 | 2007 | 2012 | 2007 | 2012 | 2007 | 2012 | 2007 | 2012 |
| A | 8 | 4 | 0 | 0,50 | 0,00 | 1 | 0 | 1 | 0 | 0 | 0 | 0 | 0 |
| B | 25 | 7 | 1 | 0,28 | 0,04 | 2 | 0 | 2 | 0 | 1 | 1 | 0 | 0 |
| C | 72 | 8 | 8 | 0,11 | 0,11 | 1 | 3 | 2 | 2 | 2 | 0 | 0 | 3 |
| D | 41 | 17 | 7 | 0,41 | 0,17 | 8 | 0 | 5 | 4 | 4 | 3 | 0 | 0 |
| E | 40 | 19 | 7 | 0,48 | 0,18 | 7 | 1 | 2 | 3 | 1 | 2 | 0 | 1 |
| F | 44 | 0 | 0 | 0,00 | 0,00 | 0 | 0 | 0 | 0 | 0 | 0 | 0 | 0 |
| G | 59 | 15 | 7 | 0,25 | 0,12 | 8 | 3 | 0 | 3 | 1 | 0 | 0 | 1 |
| H | 63 | 8 | 1 | 0,13 | 0,02 | 0 | 1 | 0 | 0 | 0 | 0 | 0 | 3 |
| I | 19 | 5 | 4 | 0,26 | 0,21 | 1 | 0 | 0 | 2 | 2 | 0 | 0 | 4 |
| sum/middelv. | | 83 | 35 | 0,27 | 0,09 | 28 | 8 | 12 | 14 | 11 | 8 | 0 | 5 |
| | | | | | | | | | | | | | 31 |
| | | | | | | | | | | | | | 9 |



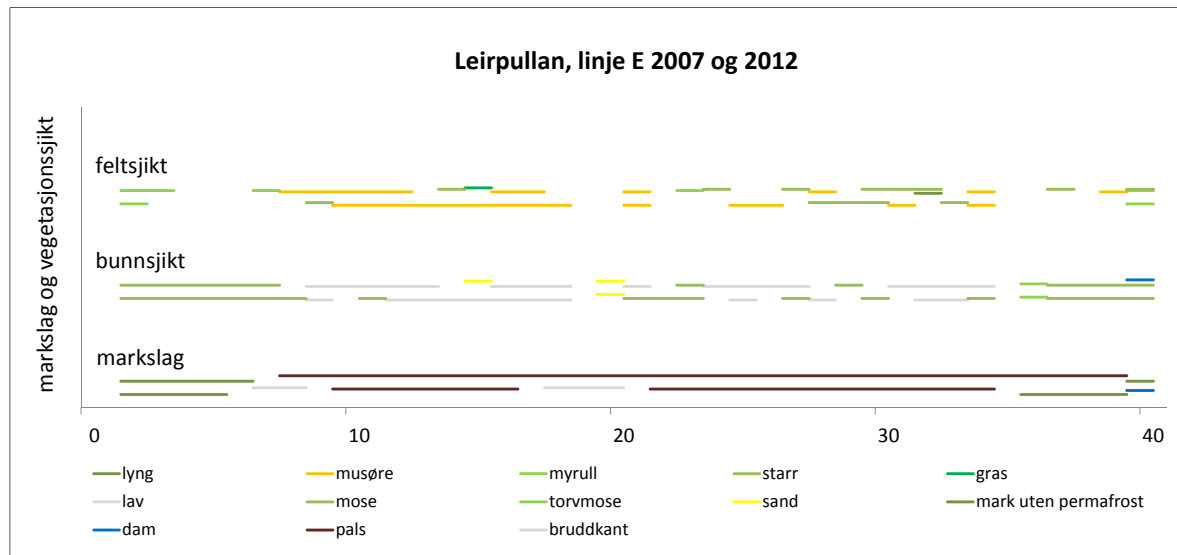
Figur 22. Høydestruktur og teledybde for linje C i 2007 og 2012. Brune linjer viser markhøyde og blå linjer teleforekomstens dybdenivå under overflaten. © NINA 2013.



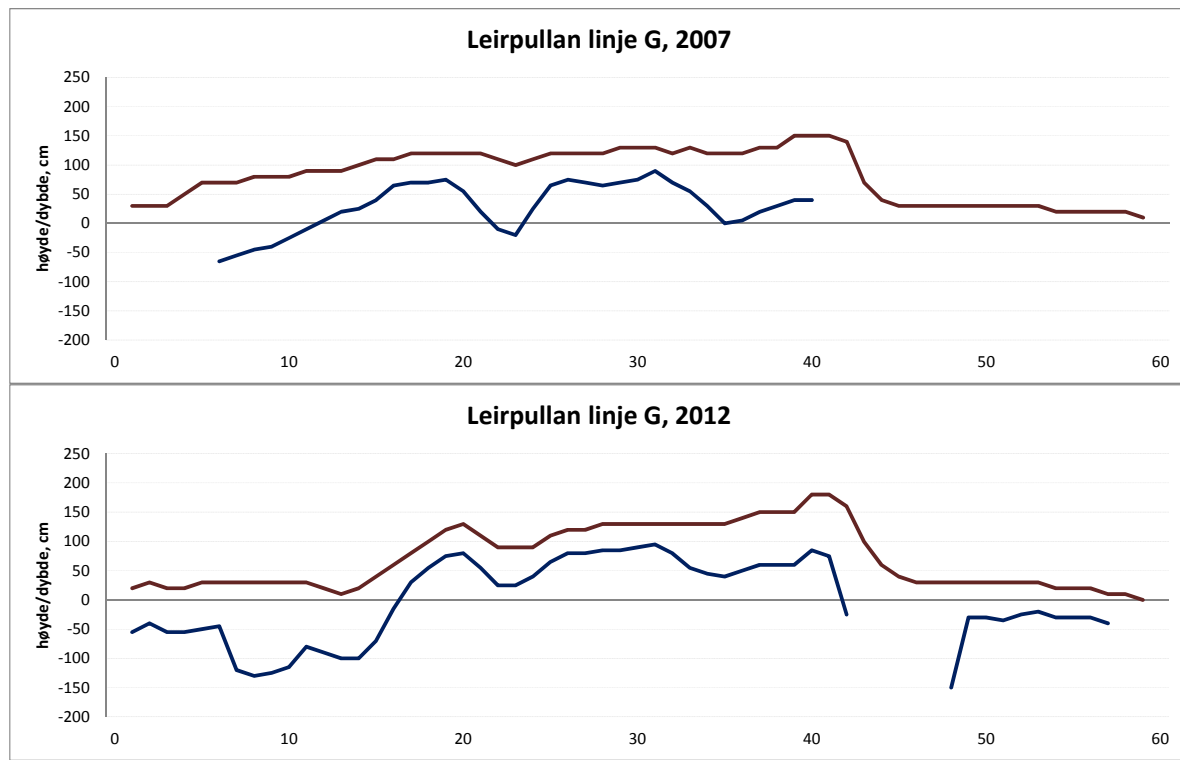
Figur 23. Fordeling av markslag og dominerende vegetasjon for linje C i 2007 og 2012. De tre grupperingene med linjer viser markslagsvariabler (nedre linjegruppering), bunnsjiksvariabler (nest nederst) og feltsjiksvariabler (øverst). Innen hver gruppering vises informasjon for 2007 nederst og 2012 øverst. Fargekodenenes betydning vises nederst i figuren. © NINA 2013.



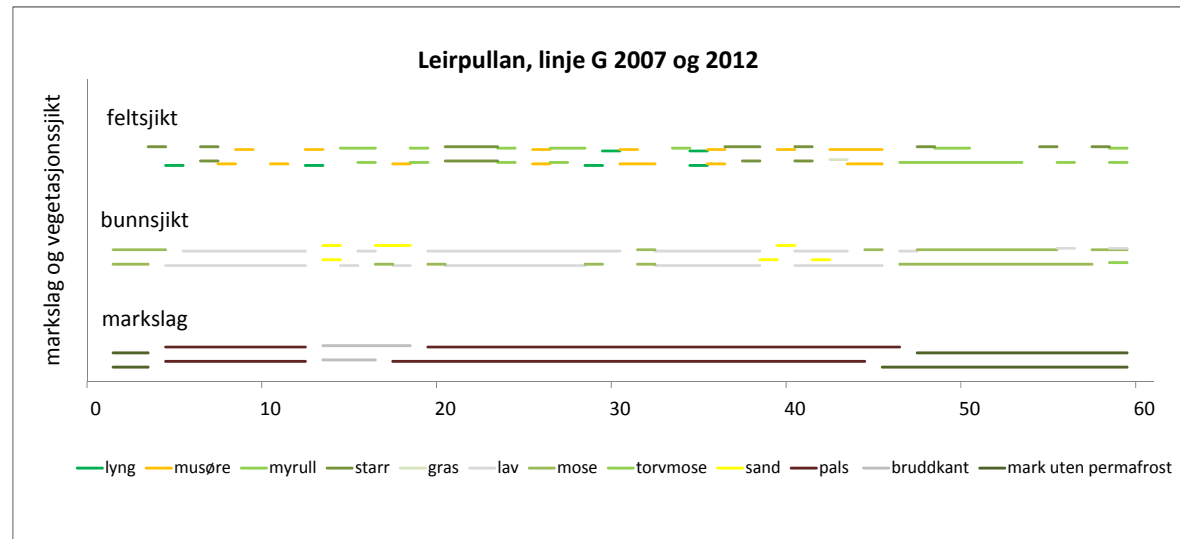
Figur 24. Høydestruktur og teledybde for linje E i 2007 og 2012. Brune linjer viser markhøyde og blå linjer teleforekomstens dybdenivå under overflaten. Merk at maksimal høydenivå ble målt noe forskjellig i de to årene. © NINA 2013.



Figur 25. Fordeling av markslag og dominerende vegetasjon for linje E i 2007 og 2012. De tre grupperingene med linjer viser markslagsvariabler (nedre linjegruppering), bunnsjiksvariabler (nest nederst) og feltsjiksvariabler (øverst). Innen hver gruppering vises informasjon for 2007 nederst og 2012 øverst. Fargekodenenes betydning vises nederst i figuren. © NINA 2013.



Figur 26. Høydestruktur og teledybde for linje G i 2007 og 2012. Brune linjer viser markhøyde og blå linjer teleforekomstens dybdenivå under overflaten. Merk at maksimal høydenivå ble målt noe forskjellig i de to årene. © NINA 2013.



Figur 27. Fordeling av markslag og dominerende vegetasjon for linje G i 2007 og 2012. De tre grupperingene med linjer viser markslagsvariabler (nedre linjegruppering), bunnsjiksvariabler (nest nederst) og feltsjiksvariabler (øverst). Innen hver gruppering vises informasjon for 2007 nederst og 2012 øverst. Fargekodenes betydning vises nederst i figuren. © NINA 2013.



Figur 28. Synkende pals langs linje C (foto fra linjestart). Foto: A. Hofgaard. © NINA 2013.



Figur 29. Pals med minket størrelse langs linje E (foto fra punkt 0 m). Foto: A. Hofgaard. © NINA 2013.



Figur 30. Dammen til venstre om linje G har nesten vokset sammen med vannflikken til høyre (foto fra linjestart). Foto: A. Hofgaard. © NINA 2013.

4.3.3 Artsfrekvens

Variasjonen i felt- og bunnsjikt ble i 2012 analysert for 17 palsoverflatelinjer og sammenlignet med målingene fra 2007 (11 linjer). Palsene i Leirpullan mangler busksjikt, men vier forekommer i lav frekvens, men da først og fremst i områder uten permafrost. Vegetasjonen på palsene er i begge årene karakterisert av musøre og starr i feltsjiktet og av lav og mose i bunnsjiktet.

Tilsammen dekker de ca. 70 % av overflaten i 2007 og ca. 80 % i 2012. Samlet har feltsjiks dominert vegetasjon avtatt fra 2007 til 2012, med en tilsvarende økning i bunnsjiksvegetasjon (**Tabell 8**). Denne nedgangen i feltsjiksvegetasjon skyldes til dels de tydelige endringer i enkelte feltsjiksarters frekvens mellom analyseårene, selv om feltsjiktet totalt kun dekker ca. en tredjedel av palsoverflatene i begge årene. Noen av de mest påfallende frekvensendringene av arter/artsgrupper innen feltsjiktet er reduksjon av starr, myrull og musøre (**Tabell 8**). I bunnsjiktet har områder uten vegetasjon økt betydelig mellom 2007 og 2012, men lav er fortsatt den dominerende komponenten total for de to sjiktene (43 %). Den registrerte nedgangen i musøre, starr og myrull kan muligens skyldes forskjeller i beitepress (først og fremst moskus, reinsdyr og lemen) mellom analyseårene. Forøvrig er de registrerte endringene relativt små og kan trolig også skyldes variasjoner i artslinjenes plassering mellom undersøkelsene i 2007 og 2012.

Tabell 8. Endring i artssammensetning i palsoverflatens felt- og bunnsjikt fra 2007 til 2012. © NINA 2013.

| Vegetasjons- sjikt | antall treff* | | % dekning | | % endring |
|-----------------------|---------------|------------|---------------|---------------|----------------|
| | 2007 | 2012 | 2007 | 2012 | |
| Feltsjikt | 179 | 238 | 35,8 % | 28,0 % | -21,8 % |
| Vier | 1 | 0 | 0,2 % | 0,0 % | -100,0 % |
| Musøre | 68 | 83 | 13,6 % | 9,8 % | -28,2 % |
| Krekling | 18 | 46 | 3,6 % | 5,4 % | 50,3 % |
| Starr | 46 | 44 | 9,2 % | 5,2 % | -43,7 % |
| Ull | 25 | 30 | 5,0 % | 3,5 % | -29,4 % |
| Gras | 14 | 22 | 2,8 % | 2,6 % | -7,6 % |
| Urter | 7 | 13 | 1,4 % | 1,5 % | 9,2 % |
| Bunnsjikt | 321 | 612 | 64,2 % | 72,0 % | 12,1 % |
| Lav | 228 | 364 | 45,6 % | 42,8 % | -6,1 % |
| Mose | 64 | 100 | 12,8 % | 11,8 % | -8,1 % |
| Strø | 24 | 102 | 4,8 % | 12,0 % | 150,0 % |
| Sand | 5 | 43 | 1,0 % | 5,1 % | 405,9 % |
| Vann | 0 | 3 | 0,0 % | 0,4 % | |

* analysene er basert på 10 linjer i 2007 og 17 linjer i 2012

4.4 Menneskelige påvirkning

De vitenskapelige studiene av palsene i Leirpullan sommeren 1995 inkluderte detaljerte stratigrafiske studier av sedimentoppbyggingen i palsene, og av sedimentets kornstørrelse i frosne og tinte deler av utvalgte palser (Matthews et al. 1997). Disse studiene inkluderte graving av dype grøfter som medførte bestående skade i to av de utvalgte palsene (pals nr 6 og 7). I en tredje pals (nr 1) ble det utført mindre omfattende graving som ikke har gitt varige skader. I de to skadde områdene har deler av palsene falt sammen og områdene karakteriseres av vind-eroderte og nesten vegetasjonsfrie sandfelter. Disse områdene er ikke inkludert i overvåningsstudien. Forøvrig viser palsene i Leirpullan ingen tegn på direkte menneskelige forstyrrelser.

5 Diskusjon

Økt palsfrekvens langs linjene og reduksjon i palsstørrelse de siste fem årene kan tilsynelatende være motstridende resultater, men er trolig en konsekvens av kombinasjonen av årlige variasjoner i telens utbredelse og langsiktige trender. Overvåkingen viser en relativt rask palsreduksjon i store deler av Leirpullan, særlig de siste fem årene. Langtidsendringene i regionens klima styrer dynamikken i palsmyrsystemene, sammen med klimatiske ulikheter mellom år og eventuelle direkte menneskelige påvirkninger. Ettersom palsene i Leirpullan-området ikke viser tydelige tegn på forstyrrelse av menneskelig aktivitet, antas det at de dokumenterte endringene fra 1995 til 2007 og fra 2007 til 2012 hovedsakelig har en klimatisk årsak. Årsakssammenhengene er imidlertid komplekse ettersom forandringene over tid ikke bare påvirkes av de direkte klimatiske effektene, men også av den årlige sedimenttilførselen til deltaet og endringer i vannføringskanalenes posisjon og dybde. Selv om palsformasjonene er sterkt klimatisk regulerte, så må man for Leirpullans utvikling ta hensyn til disse aspektene.. Tilbakegang av palsene i Leirpullan er høyst sannsynlig et resultat av en prosess som har pågått over lang tid og er i tråd med forandringene mot et allerede varmere og fuktigere klima. Siden midten av 1980-talet har årsmiddeltemperaturen økt med ca. 1,5 °C. Selv om middeltemperaturen fortsatt ligger et godt stykke under null grader, er denne temperaturutviklingen ugunstig for palsenes vekst og overlevelse.

Palsformasjoner i de fragmenterte sentrale delene av Leirpullan er mest følsomme for denne type klimaendring. De større og mer stabile palsene i vestre og østre deler av undersøelsesområdet, vil kunne eksistere over lengre tid, også i et relativt ugunstig klima. Det er også her palsvekst eller nye palser har blitt registrert. De til synelatende kortlivede, nye palsene som ble registrerte i ett og samme område av Leirpullan fra 2007 til 2012, indikerer hvilke miljøvariabler som er særlig viktige for nydanning av palser. Det er kun i grunne områder med tykt lag av fin-kornet sediment som permafrost kan utvikles, men også andre forutsetninger må være tilstede, som lav vannstand og lite snø. Ved lav vannstand eksponeres sandbunnen slik at dyp markfrost kan utvikles, særlig om høsten. Dette forutsetter imidlertid at sandbunnen er fri fra snø mesteparten av den etterfølgende vinteren. Windsituasjonen om vinteren er dermed en viktig faktor for dannelse, vekst og overlevelse av de nye palsene. Det er trolig at den relativt sett mer balanserte palsdynamikken i den vestre delen av Leirpullan kan forklares av forskjeller i sedimenttykkelse, vannsituasjon og snødekke mellom områdets ulike deler. Men det er også trolig at dersom trenden i regionens klima fortsetter, vil forutsetningene for permafrost kunne bli endret i negativ retning, også i disse delene.

For palsene der høyde, størrelse og teledybde ble målt ved studiene i 1995 (pals 1-5) var høyden ikke endret i de 12 årene frem til 2007, men det ble imidlertid registrert en reduksjon av middelhøyden med ca. 20 cm for perioden 2007 til 2012. Ettersom palshøyde er målt i relasjon til nivået for vannoverflaten, er variabelen avhengig av vannstanden ved de enkelte måletidspunktene. For noen av palsene er høyden blitt redusert siden 2007 på grunn av erosjon. Men i all hovedsak skyldes endringen i palsenes gjennomsnittshøyde forskjeller i vannstand mellom analysetidspunktene, samt mindre feilmarginer ved høydemålingene. Telens posisjon og dybde, som er uavhengige av vannstand, gir derimot gode data på endringer mellom år. Selv om det ikke er mulig å trekke noen klare slutsninger om forskjellen representerer en trend. Dette ettersom været i de enkelte somrer, i tillegg til vinteren da telen dannes, er sterkt styrende for teledybde og teleutbredelse. I gjennomsnitt lå telens posisjon ca. 30 cm dypere i 2007 sammenlignet med de to andre årene (1995: 92 cm; 2007: 119 cm; 2012: 89 cm). De registrerte endringene i teledybde og teleutbredelse, skyldes trolig først og fremst ulike værforhold mellom analyseårene. Årstemperaturen var ca. 0,7 °C kaldere i 1995 og 2012 sammenlignet med 2007, og sommeren var 0,7 °C og høneholdsvis 1,5 °C kaldere. I tillegg var årsnedbøren noe lavere både i 1995 og 2012 sammenlignet med 2007. Denne klimavariasjonen mellom år er avgjørende for hastigheten og trenden i den langsiktige utviklingen av palsene. Det er imidlertid stor usikkerhet omkring både hvor stor betydning værforholdene har for årlig variasjon i permafrostens utbredelse og for hastigheten til den langsiktige utviklingstrenden (Fronzek et al. 2009, Sannel 2010). Til tross for et forverret klima for palsoverlevelse og palsvekst de senere tiår, så

viser en økning av tele i eldre palser og en ny permafrostgrunnet sandøy at vekst av permafrost er mulig. Det er imidlertid lite trolig at nydannelse eller vekst av palsene vil kunne kompensere for tapet av eldre palsformasjoner, selv om embryonale palser kan forekomme tilfeldig. Det faktum at telens posisjon lå grunnere i 2007 enn i 1995 og 2012, viser at teledybde ikke kan brukes som grunnlag for å trekke konklusjoner om en retningsbestemt forandring. Variasjonen i temperatur og nedbør mellom år påvirker teledybden mer enn den langsigte klimaendringen. For eksempel, sammenlignet med 2012, må man helt tilbake til begynnelsen og slutten av 1970-tallet for å finne tilsvarende tynt snødekket både vinter og vår over en rekke av år (**Figur 10**).

Artsfrekvensanalysene viser at bunnsjiktsdominansen økte i perioden 2007 til 2012, og at mindre areal er dominert av feltsjiktsarter i 2012. Denne endringen sammen med beskjedne artsendringer i feltsjiktet og uendret frekvens av lavdekke er en relativt gunstig utvikling for langsigtig overlevelse av eldre palser. Økningen i mark uten vegetasjon er derimot ugunstig hvis den representerer en trend. Den registrerte feltsjiktsendringen gir en overflatestruktur som vil gi et tynnere og mindre isolerende snødekket om vinteren. Dette er gunstig for den nødvendige nedkjølingen av palsene om vinteren, mens bunnsjiktet og dens endringer har stor betydning under varme deler av året. Mengden lavdekke har størst betydning om sommeren da det innvirket på refleksjonen av solas varmestråling (en reduksjon i lavdekke og økning av mark uten vegetasjon vil føre til økt oppvarming av palsene). De to prosessene kan sammen få stor påvirkning på palsekst og palsoverlevelse, og i et varmere klima øker betydningen av palseoverflatens vegetasjon for palsenes overlevelse. Tilstedeværelse og sammensetning av felt- og bunnsjikt er derfor viktige komponenter i overvåkingen av palsmyrsystemer gjennom påvirkningen på telenivået og teleutbredelsen.

Tidsplan

Overvåkingen har siden starten i 2004 inkludert etablering og førstegangsanalyser av ett overvåkingsområde per år, med start i Ostojeaggi. I løpet av overvåkingens første fem år (2004-2008) ble alle utvalgte overvåkingsområder (se **Figur 5**) analysert i følge planen nedenfor. Deretter er fire områder gjenanalysert etter fem år og det siste planlagt til 2013. Fjerde gjenanalyserete område er Leirpullan som er rapportert i denne rapporten. Overvåkingen rapporteres med årlige rapporter til Direktoratet for naturforvaltning (se **Referanseliste 7.1**).

| | | |
|-------------------------|-------------|--------------------------------------|
| Førstegangsundersøkelse | 2004 | Ostojeaggi |
| | 2005 | Dovre: Haukskardmyrin og Haugtjørnin |
| | 2006 | Goahteluoppal |
| | 2007 | Dovre: Leirpullan |
| | 2008 | Ferdesmyra |
| Gjenanalyse I | 2009 | Ostojeaggi |
| | 2010 | Dovre: Haukskardmyrin og Haugtjørnin |
| | 2011 | Goahteluoppal |
| | 2012 | Dovre: Leirpullan |
| | 2013 | Ferdesmyra |
| Gjenanalyse II | 2014-2018 | |

6 Referanser

6.1 Rapporter innen overvåkingsprosjektet

- Hofgaard, A. 2003. Effects of climate change on the distribution and development of palsa peatlands: background and suggestions for a national monitoring project. – NINA Project Report 21. 32 s.
- Hofgaard, A. 2004. Etablering av overvåkingsprosjekt på palsmyrer. – NINA Oppdragsmelding 841, 32 s.
- Hofgaard, A. 2005. Overvåking av palsmyr. Førstegangsundersøkelse i Ostojeaggi, Troms 2004. – NINA Rapport 42. 29 s.
- Hofgaard, A. 2006. Overvåking av palsmyr. Førstegangsundersøkelse i Dovre 2005, Haukskardmyrin og Haugtjørnin. – NINA Rapport 154. 35 s.
- Hofgaard, A. 2007. Overvåking av palsmyr. Førstegangsundersøkelse i Goahteluoppal, Vest-Finnmark 2006. – NINA Rapport 257. 33 s.
- Hofgaard, A. 2008. Overvåking av palsmyr. Førstegangsundersøkelse i Leirpullan, Sør-Trøndelag 2007. – NINA Rapport 364. 35 s.
- Hofgaard, A. 2009. Overvåking av palsmyr. Førstegangsundersøkelse i Ferdesmyra, Øst-Finnmark 2008. – NINA Rapport 476. 34 s.
- Hofgaard, A. & Wilmann, B. 2010. Overvåking av palsmyr. Første 5-årsundersøkelse i Ostojeaggi, Troms, 2009. – NINA Rapport 586. 42 s.
- Hofgaard, A. & Wilmann, B. 2011. Overvåking av palsmyr. Første 5-årsundersøkelse i Haukskardmyrin og Haugtjørnin, Dovre. – NINA Rapport 717. 42 s.
- Hofgaard, A. & Myklebost, H.E. 2012. Overvåking av palsmyr. Første gjenanalyse i Goahteluoppal, Vest-Finnmark. Endringer fra 2006 til 2011. – NINA Rapport 841. 44 s.

6.2 Annen sitert litteratur

- ACIA. 2005. Arctic climate impact assessment. – Cambridge University press, Cambridge.
- Christensen, T.R., Johansson, T., Akerman, H.J., Masteponov, M., Malmer, N., Friborg, T., Crill, P. & Svensson B.H. 2004. Thawing sub-arctic permafrost: Effects on vegetation and methane emissions. – Geophysical Research Letters 31. L04501.
- Fronzek, S., Johansson, M., Christensen, T.R., Carter, T.R., Friborg, T. & Luoto, M. (eds.) 2009. Climate change impacts on sub-arctic palsa mires and greenhouse gas feedbacks. – Reports of Finnish Environment Institute 3/2009.
- IPCC 2001. Working Group I Assessment Report, Climate Change 2001: The Scientific Basis (Summary for policymakers). – www.gcrio.org/online.html.
- IPCC. 2007. Climate Change 2007: The Physical Science Basis: Summary for Policymakers. 10th session of Working group I of the IPCC. – IPCC, Paris.
- Laberge, M.-J. & Payette, S. 1995. Long-term monitoring of permafrost change in a palsa peatland in Northern Québec, Canada: 1983-1993. – Arctic Alpine Research 27: 167-171.
- Laaknes, T.R., Larsen, Y, Høgda, K.A., Tømmervik, H. & Hofgaard, A. 2012. Bruk av fjernmåling i palsmyrovervåking. – NINA Rapport 803. 36 pp.
- Luoto, M., Heikkilä, R. K. & Carter, T. R. 2004. Loss of palsas in Europe and biological consequences. – Environmental Conservation 31: 1-8.
- Luoto, M. & Seppälä, M. 2002. Modelling the distribution of palsas in Finnish Lapland with logistic regression and GIS. – Permafrost and Periglacial Processes 13: 17-28.

- Luoto, M. & Seppälä, M. 2003. Thermokarst ponds as indicators of the former distribution of palsas in Finnish Lapland. – *Permafrost and Periglacial Processes* 14: 19-27.
- Matthews, J.A., Dahl, S.O., Berrisfjord, M.S. & Nesje, A. Cyclic development and thermokarstic degradation of palsas in the mid-alpine zone at leirpullan, Dovrefjell, Southern Norway. – *Permafrost and Periglacial Processes* 8: 107-122.
- Moen, A. 1999. National Atlas of Norway. Vegetation. Norwegian Mapping Authority, Hønefoss, Norway. 200 s.
- Payette, S., Delwaide, A., Caccianiga, M. & Beauchemin, M. 2004. Accelerated thawing of subarctic peatland permafrost over the last 50 years. – *Geophysical Research Letters*, Vol 31, L18208, doi:10.1029/2004GL020358. 4 s.
- Sannel, A. B. K. 2010. Temporal and spatial dynamics in subarctic peat plateaus and thermokarst lakes. – Doctoral Thesis in Physical Geography at Stockholm University.
- Seppälä, M. 1986. The origin of palsas. – *Geografiska annaler*, A68, 141-147.
- Sollid, J.L. & Sørbel, L. 1998. Palsa bogs as a climate indicator – examples from Dovrefjell, Southern Norway. – *Ambio* 27: 287-291.
- The Habitats Directive 2007. Council Directive 92/43/EEC on the Conservation of natural habitats and of wild fauna and flora. Consolidated version 1.1.2007. – <http://ec.europa.eu/environment/nature/legislation/habitatsdirective>.
- Wramner, P., Backe, S., Wester, K., Hedvall, T., Gunnarsson, U., Alsam, S. & Eide W. 2012. Förslag till övervakningsprogram för Sveriges palsmyrar. Länsstyrelsens rapportserie nr 16/2012. Länsstyrelsen i Norrbottens län.



Beiteområde ved Leirpullan i Dovrefjell. Foto: A. Hofgaard. © NINA 2013.

7 Vedlegg 1: Klimatiske forutsetninger og endring av palsmyrer i tid og rom

Teksten nedenfor er hentet fra rapporten "Etablering av overvåkingsprosjekt på palsmyrer. NINA Oppdragsmelding 841" (Hofgaard 2004).

7.1 Sammansättning och struktur

En pals är en permafrostorsakad torvklädd kulle som höjer sig över den omgivande myrytan (**Figur 1**). Kullarnas höjd varierar från mindre än en meter till flera meters höjd och kan täcka en yta av många hundra kvadratmeter varav de större bildar palsplatåer (Laberge och Payette 1995, Sollid och Sørbel 1998).



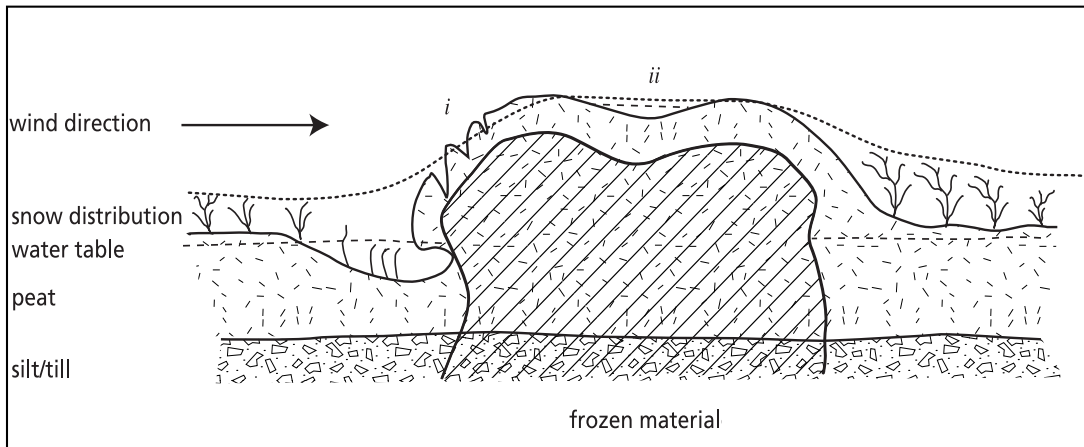
Figur 1. Kupolformad pals som höjer sig ca. 2.5 m över den omgivande myrytan.
Ferdelesmyra, 5 juli 2004.

Ordet pals härstammar från de finska och samiska språken och betyder torvkulle eller upphöjning i myr, men definitionen av ordet varierar något i den vetenskapliga litteraturen. Här i föreliggande rapport används definitionen "peat hummocks with a core of frozen peat and/or mineral soil rising to a height of 0.5 – 10 m above a mire surface within the discontinuous permafrost zone" (Seppälä 1988). I tillägg till palsar och palsplatåer karakteriseras palsmyrar av en mosaik av torvmark utan permafrost, våta starrområden, och dammar orsakade av tidigare palsar som tinat och fallit ihop, samt torvringar runt dessa dammar. Ett sådant palsmyrsystem är mycket dynamiskt över tid till följd av nybildning, tillväxt och nedbrytning av palsar. Alla dessa terrängformationer är naturliga komponenter i palsmyren tillsammans med tillfälliga eller embryonala permafrostformationer som endast höjer sig någon eller några decimeter över myrytan (Sollid och Sørbel 1998; kallas pounus i Seppälä 1998). Dessa små och/eller tillfälliga permafrostformationer kan periodvis utgöra ett signifikant bidrag till myrens struktur.

Frekvensen av de olika komponenterna ändras i både tid och rum (beskrivs utförligare nedan) och påverkar på så sätt vegetationsstrukturen på myrarna genom främst förändringar av hydrologiska faktorer, vindexponering och betestryck. Samtidigt som fördelningen av palsmyrens komponenter påverkar vegetationsstrukturen så återverkar vegetationens struktur på fördelningen av permafosten genom påverkan på snöfördelning, markfuktighet och marktemperatur. Resultatet är att frekvensen träd-, busk-, ört-, gräs-, moss- och lavdominerad vegetation varierar på ett utpräglat mosaikartat sätt över myrarna. Denna variationsbredd i den

abiotiska och biotiska miljön har en avgörande betydelse för palsmyrekoystemens struktur och funktion i tid och rum.

Palsarnas huvudsakliga morfologiska komponent är den frusna torvkärnan omgiven av säsongsfusen torv (**Figur 2**). Tjockleken på det omgivande torvlagret varierar från någon decimeter till mer än en meter både inom och mellan olika palsmyrområden. Under den nivå som påverkas av tjäle omges palsens frusna del av ofrusen torv. Beroende på myrens torvdjup och palsens utveckling så kan permafosten nå ner till eller inkludera myrens sediment- eller möränunderlag. Myrens vattenhaltiga mineralogena underlag kan på så sätt bidra till palsens höjd expansion. I tillägg till frusen torv och sediment är islinsen vanliga morfologiska strukturer i palsarna.



Figur 2. Palsuppgbyggnad, grundvattennivå i omgivande myrmark, och snöns fördelning under högvintern. Palsens frusna kärna är omgiven av ofrusen torv under sommaren, och vegetationens struktur på och runt palsen är formad av vind och snöförhållanden under vintern. i) exponerad yta som utsätts för vind och erosion; ii) tillfällig vattensamling (källa: Hofgaard 2003).

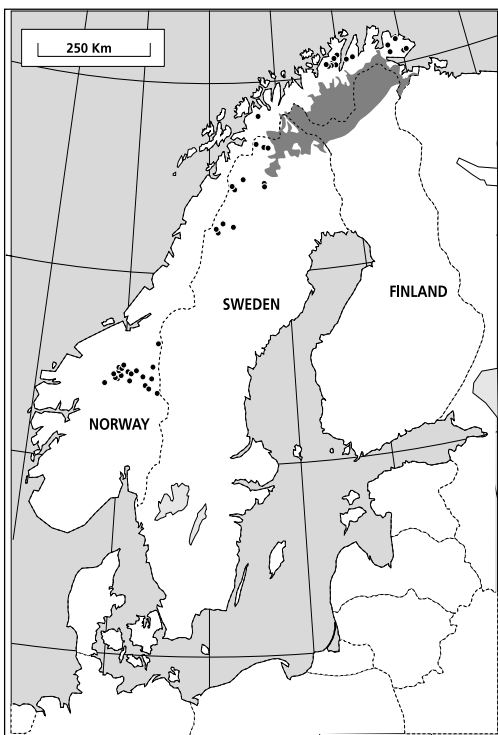
7.2 Utbredning och klimatiska förutsättningar

Palsmyrar förekommer i den circumpolära regionen med osammanhängande eller sporadisk permafrost i övergångszonen mellan boreala och arktiska/alpina områden. I detta vidsträckta område bildar palsar distinkta terrängformationer i subarktiska och subalpina myrmarker (Seppälä 1986, Laberge och Payette 1995). Utbredning indikerar ett nära samband med det periodiska och/eller årliga temperaturunderskottet som karaktäriserar övergångszonen mellan den slutna skogen och den arktiska eller alpina tundran. Palsar och palsplatåers lokala och regionala utbredningen i tid och rum styrs av hur lokala och regionala klimatfaktorer varierar och förändras över decennier och sekel, men även variationer på kortare sikt är av betydelse, t.ex. för förekomsten av små för det mesta kortlivade palsar, s.k. embryopalsar (som kan vara starten till nya mer långlivade palsar). Överlevnaden hos dessa palsar styrs av vädrets utveckling under individuella år (Seppälä 1998, Sollid och Sørbel 1998). Även om förutsättningarna för permafrostaggregering och permafrostdegenerering huvudsakligen styrs av förändringar i temperatur-nederbördssbalansen så kan i tillägg mänskliga och ingrepp som påverkar på torvens isolerande förmåga och myrens hydrologiska balans ha avgörande betydelse. Särskilt känsliga för påverkan är de palsmyrmarker som ligger nära den klimatiska gränsen för sin existens, dvs. den sydliga utbredningsgränsen för sporadisk permafrost.

Klimatets långsiktiga förändringar på det norra halvklotet under efteristiden (Holocene) visar på en dominerande trend med gradvis avkyllning från tidig till sen holocen tid men avbruten av kallare och varmare perioder som avviker från huvudtrenden. Den senaste kallare perioden var den några sekel långa så kallade Lilla Istiden som upphörde i slutet av 1800-talet (Grove 1988,

Bradley och Jones 1992). Sedan dess har åter en period med uppvärmning dominerat det norra halvklotet, även om stora tidsmässiga och geografiska variationer har präglat perioden (Houghton et al. 1996). Dessa storskalig klimatiska förändringarna påverkar utbredningen av zonen med osammanhangande eller sporadisk permafrost och förekomst och fördelning av permafrostformationer inom zonen

I Norge förekommer palsar i myrmarker främst inom två regioner, en i söder och en i norr men med några fåtal lokala förekomster längre söderut (Figur 3). Den södra regionen är mer eller mindre helt begränsad till Dovre – Femunden området medan den norra regionen är mer generell och täcker stora delar av Troms och Finnmarks fylken förutom kustnära områden. Den kontinentala eller lokalkontinentala klimattyp som är förhärskande i dessa områden är förutsättningen för bildning och överlevnad av palsar i denna annars relativt varma och fuktiga klimatregion som Skandinavien tillhör med sin starka inverkan av atlantiska luftmassor. Klimatförändringar som påverkar det regionala eller lokala inflytande av dessa luftmassor, det vill säga påverkar graden av oceanitet, kommer att påverka palsmyrnas utbredning och struktur i Skandinavien. Följaktligen kommer palsmyrnas ekologiska betydelse på landskaps- och ekosystemnivå därmed också att påverkas.



Figur 3. Palsmyrutbredning i Fennoskandien
(källa: Seppälä 1997, Sollid och Sørbel 1998).

De klimatiska gränserna som angetts för den Skandinaviska palsmyrutbredningen varierar i litteraturen beroende på vilka studieområden de utgår ifrån. Generellt sett så ligger den begränsande årsmedeltemperaturen något högre i norra Norge än i till exempel den svenska palsmyrzon. Orsaken till detta är troligen att de nordnorska områdena har både mindre årsnederbörd och vinternederbörd (se Zuidhoff och Kolstrup 2000). I Sverige förekommer palsar främst i en zon som avgrenas av en årsmedeltemperatur på -2 till -3°C och mindre än 300 mm nederbörd under vintern (Zuidhoff och Kolstrup 2000). I norra Norge förekommer de huvudsakliga palsmyrmarkerna inom områdena som avgrenas av en årsmedeltemperatur på upp till +1°C men med en vinternederbörd på ca 100 mm eller mindre (Åhman 1977). I Finland följer palsaregionens södra gräns mer eller mindre isotermen för -1°C och en årsnederbörd som ligger under 400 mm (Seppälä 1986). I södra Norges fjällområden där några av de klimatiskt mest marginella palsmyrområdena finns ligger årsmedeltemperaturen på ca 0°C. Detta är troligen nära eller över den temperatur som behövs för långsiktig överlevnad av palsmyrmarker

(Söllid och Sørbel 1998) under rådande nederöldsregim (ca 450 mm per år). Dessa relativt stora skillnader i temperatur- och nederöldsavgränsningar mellan de olika Skandinaviska områdena pekar på en känslig och viktig balans mellan de olika årstidernas temperatur- och nederbördsklimat, och kräver stor grad av försiktighet vid jämförelse mellan utveckling av permafrostformationer och enskilda klimatvariabler, som t.ex. vinternederbörd.

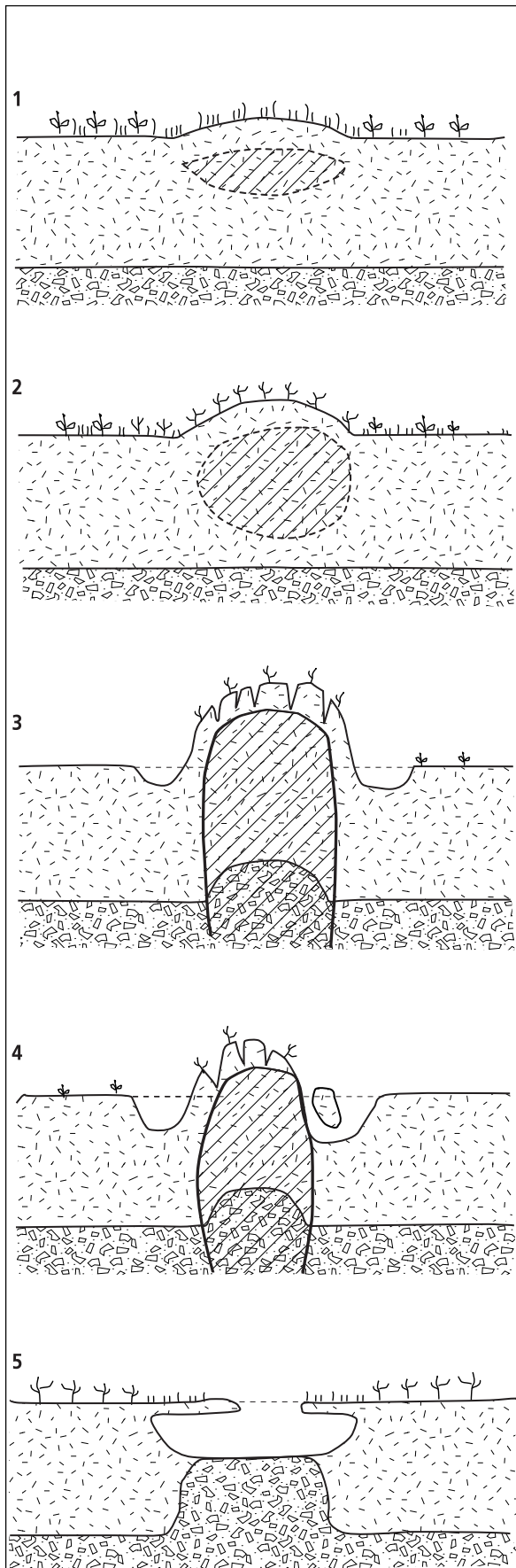
7.3 Palsmyrdynamik

Lufttemperatur, snödjup och torvens isolerande förmåga är de tre dominerande faktorer som styr tillväxt och degenerering av palsar. Låga lufttemperaturer under både sommar och vinter är gynnsamt för palsutvecklingen, och snöns djup, fördelning och varaktighet under vintern är av essentiell betydelse för bildning och tillväxt av permafrost och islinser i myrmarken. Svala torra somrar gynnar bibehållandet och överlevnaden av palsar genom att torvens isolerande förmåga maximeras vid torra förhållanden vilket gör att värmeackumuleringen nedåt i pelsen därmed blir minimerad och då särskilt under svala perioder. Varma fuktiga somrar har motsatt effekt och ökar nerbrytningsprocesser och försvinnande av palsar. Längre perioder med varmt och fuktigt klimat kan förvandla palsmyrmarker till myrmarker dominerade av våt moss- och starrvegetation och dammar men som huvudsakligen saknar torra upphöjda palsområden. Ett tjockt snötäcke hindrar kylan att tränga ner i myren och torven och en ökning av snötäckets tjocklek och varaktighet kan på så sätt hindra nybildning av palsar och gynna nedbrytning och försvinnande av permafrost i existerande palsar (Seppälä 1990, Zhang et al. 1990, Heimstra et al. 2002). Snödjup och torvtemperatur varierar emellertid lokal på grund av småskaliga variationer i topografi, vegetationsstruktur och vindens påverkan. I tillägg styr den inneboende successionen av utvecklingsstadier från initiering till förfall av individuella palsar dynamiken i palsmyrarna. Efter initiering och höjd tillväxt blir den upphöjda torven/pelsen allt mer utsatt för erosion, en erosionsprocess som till slut orsakar total kollaps av palsen. Följaktligen så kommer påverkan av och interaktioner mellan de olika abiotiska och biotiska miljöfaktorerna att variera både i tid och rum. Palsmyrarnas utveckling kontrolleras således av komplexa relationer mellan edafiska, biotiska (vegetationsstruktur) och klimatiska förutsättningar.

7.3.1 Temporala förändringar

Både cykliska processer och episodiska händelser kan knytas till utvecklingen från initieringen till degenerering och kollaps av både kupolformade palsar och palsplatalåer (Vorren 1972, Seppälä 1986, Zuidhoff 2002). Ett brent spektra av kunskap om dessa processer finns tillgänglig i den vetenskapliga litteraturen och konceptet med cyklik palsutveckling som presenterats av bland andra Seppälä (1986) används som ram för den följande presentationen av olika utvecklingsstadier och processer (**Figur 4**).

1. Palsformation initieras vid låga vintertemperaturförhållanden och ett tunt snötäcke som tillåter kylan att tränga ner till ett tillräckligt stort djup så att den bildade tjälen inte hinner smälta helt under efterföljande sommar. På grund av den kvarvarande tjälen så höjer sig ytan något över den omgivande myren.
2. Det behövs en serie av år med liknande förhållanden för att den frusna kärnan ska växa i storlek. Upphöjningen på myrens yta ökar i höjd också genom att vatten i torvens hålrum bildar islinser. Vid detta stadium når de övre delarna av pelsen är tydligt markerade över myrutan har vinden en betydande roll genom att torka ut ytskiktet och genom att minska snödjupet och varaktigheten under vintern. Genom upphöjningen kommer fuktighetsförhållandena att helt förändras i torvlagret vilket medför att vegetation strukturen förändras (artkomposition och frekvens). Ökad frekvens av lavar minskar ytterligare palsens absorption av värme under sommaren på grund av ökat albedo.



Figur 4. Palsutveckling. 1) Nybildning av palsar sker under vintrar med låga temperaturer och tunt snötäcke som tillåter kylan att tränga tillräckligt djup ner för att inte smälta helt under efterföljande sommar. På grund av den kvarvarande tjälen kommer myrytan att höja sig något. 2) Palsens höjd ökar under kalla och torra år. När den övre delen kommit ovanför den omgivande myrytan ökar vindens uttorkande effekt och snödjupet minskar vilket också medför att vegetationen förändras. Tillsammans gynnar de nya fuktighets och vegetationsförhållandena ytterligare tillväxt av palsen. 3) Palsen har nått sitt mognadsstadium när den frusna kärnan har expanderat ner till myrens underlag. Lokala förhållanden i myren och klimatiska förutsättningar styr palsens form, storlek och varaktighet i detta utvecklingsstadium. 4) Under palsens tillväxt bildas sprickor avökande storlek och djup i torvtäcket, och ytan blir därmed exponerad för vind- och regnerosion. Detta medför också ökad värmevernstransport djupare ned i palsen. I tillägg bidrar ökande mängd med vatten runt palsen strakt till ytterligare nedbrytning. 5) Efter en fullständig kollaps syns lämningar av den gamla palsen eller palsområden i form av cirkel- eller delvis cirkelformade kantryggar av torv, öppna dammar eller grupper av dammar, våta torvområden med mycket sparsam vegetation, och igenväxande områden. Under klimatiskt gynnsamma förhållanden kan nya palsar bildas i denna myr miljö (Källa: främst Seppälä 1986).

3. Palsen har nått sitt mognadsstadium när den frusna kärnan har expanderat ner till det morän- eller sedimentlager som utgör myrens underlag. Lokala förhållanden i myren och klimatiska förhållanden är avgörande för tillväxthastigheten och för palsens form, storlek och varaktighet i detta utvecklingsstadium. I norra Fennoskandien kan individuella palsar växa upp till ca 7 meters höjd (Seppälä 1986). Åldersdatering av torv från palsar i detta mognadsstadium visar på en stor åldersvariation genom zonen med osammanhängande eller sporadisk permafrost från några hundra år till några tusen (Vorren 1972, 1979, Zoltai 1993, Zuidhoff och Kolstrup 2000). Under den period som palsen växer till i storlek bildas det ofta en damm som kan komma att helt omge palsen.

4. Under palsens tillväxt bildas sprickor av ökande storlek och djup i torvtäcket. Dessa sprickor medför en ökad värmetransport djupare ned i palsen som med tiden kommer att föra till att torvblock lossnar från palsens kanter. Genom denna process med förlust av torv och vegetation från palsens yta blir den allt mer exponerad för vind- och regnerosion. I tillägg bidrar ökande mängd värmeackumulerande vatten runt palsen strakt till ytterligare nedbrytning och smältning av palsens kärna (Sollid och Sørbel 1998).

Vattenackumulation är en av de vanligaste orsakerna till erosion av palsar. När det gäller palsplatåer så äger erosion rum både längs ytterkanter och på själva platån där försänkningar i ytan ger upphov till grunda vattensamlingar. Med tiden utvecklas vattensamlingarna till dammar som ytterligare ökar hastigheten på erosionsprocessen. I tillägg kan värmeackumulationen runt palsarna bidra till att upptingen från botten ökar, och längre perioder (år, decennier) med sommar- och vinternederbörd över det normala har avgörande betydelse för bibehållande av palsar och permafrost.

5. Efter en fullständig kollaps syns lämningar av den gamla palsen eller palsområdet i form av cirkel- eller delvis cirkelformade kantryggar av torv, öppna dammar eller grupper av dammar, våta torvområden med mycket sparsam vegetation, och igenväxande områden. Under klimatiskt gynnsamma förhållanden kan nya palsar bildas i denna myrmiljö om både myrens torv- och hydrologiska förhållanden är i ett tillstånd som kan svara på klimatförhållanden som är gynnsamma för palsbildning (Laberge och Payette 1995).

Vid var och ett av de fem utvecklingsstadierna kan ogynnsamma väder- eller klimat förhållanden svänga utvecklingen eller förhindra ett tydligt cykliskt utvecklingsmönster. Till exempel så kan episodiska men dominerande erosionshändelser bli temporärt dominerande med mycket få tecken på cyklisitet.

7.3.2 Rumsliga förändringar

På den regionala skalan sätter dominerande klimatregimer gränserna för utbredning av palsmyrar och dess förändringar (se sektion 3). På den mindre landskapsskalan är förekomsten av myrmarker med lämpligt torvlager och lämpliga hydrologiska förhållanden avgörande för utbredningen (se sektion 2), och på den lokala skalan formar fördelningen av snö, de hydrologiska förhållandena, och vegetationsstrukturen utbredningen (se sektion 4.1). I tillägg är flera naturliga återverkningsmekanismer involverade på den lokala skalan. Till exempel, samtidigt som palsmyrens struktur och snöns fördelning är avgörande för utformningen av vegetationen så påverkar vegetationens struktur starkt den vindorsakade omfördelningen av snö, som i sin tur i stor utsträckning styr tillväxt och överlevnad av palsar.

Alla mänskliga aktiviteter som inverkar på palsmyrens hydrologiska förhållandena eller på vegetationens struktur kommer att på ett avgörande sätt påverka dess struktur. Ett ändrat betestryck kan till exempel genom att ändra vegetationsstrukturen förändra både torvens isolerande kapacitet och snöfördelningen, och bruket av terrängfordon kan förändra de hydrologiska förutsättningarna runt enskilda palsar och i myrmarkerna som helhet genom söndertrasning av torv

och rotsystem. Följaktligen blir de lokala miljöförutsättningarna för palsförförkomst, tillväxt och nedbrytning förändrade.

På alla de tre rumsliga skalorna kommer klimatförändringar att orsaka förändringar i fördelningen av palsar, palsplatåer, dammar, våtmyrområden och olika vegetations typer. Av särskilt stor betydelse är förändringar i graden av oceanicitet som är en nyckelfaktor med stark inverkan på förekomst och frekvens av palsar, palsmyrmarker och vegetationstyper lokalt och regionalt (se Crawford 2000).

7.4 Referanser

- Bradley, R.S. & Jones, P.D. 1993. "Little Ice Age" summer temperature variations: their nature and relevance to recent global warming trends. – *Holocene* 3: 367-376.
- Crawford, R.M.M. 2000. Ecological hazards of oceanic environments. – *New Phytologist* 147: 257-281.
- Grove, J.M. 1988. *The Little Ice Age*. – Methuen, London.
- Heimstra, C.A., Liston, G.E. & Reiners, W.A. 2002. Snow redistribution by wind and interactions with vegetation at upper treeline in the Medicine Bow Mountains, Wyoming, U.S.A. – *Arctic, Antarctic, and Alpine Research* 34: 262-273.
- Hofgaard, A. 2003. Effects of climate change on the distribution and development of palsa peatlands: background and suggestions for a national monitoring project. – NINA Project Report 21. 32pp.
- Houghton, J. T., L. G. Meira Filho, B. A. Callander, N. Harris, A. Kattenberg & K. Maskell, (ed.), 1996. *Climate Change 1995: The Science of Climate Change*. – Cambridge University Press, Cambridge.
- Laberge, M.-J. & Payette, S. 1995. Long-term monitoring of permafrost change in a palsa peatland in Northern Québec, Canada: 1983-1993. – *Arctic Alpine Research* 27: 167-171.
- Seppälä, M. 1986. The origin of palsas. – *Geografiska Annaler* 68 A: 141-147.
- Seppälä, M. 1988. Palsas and related forms. In: Clark, M.J. (ed.), *Advances in periglacial geomorphology*. – John Wiley, Chichester. p. 247-278.
- Seppälä, M. 1990. Depth of snow and frost on a palsa mire, Finnish Lapland. – *Geografiska Annaler* 72 A: 191-201.
- Seppälä, M. 1997. Distribution of permafrost in Finland. – *Bulletin of the geological Society of Finland* 69, part 1: 87-96.
- Seppälä, M. 1998. New permafrost formed in peat hummocks (pounus), Finnish Lapland. – *Permafrost and Periglacial Processes* 9: 367-373.
- Sollid, J.L. & Sørbel, L. 1998. Palsa bogs as a climate indicator – examples from Dovrefjell, Southern Norway. – *Ambio* 27: 287-291.
- Vorren, K.-D. 1972. Stratigraphical investigations of a palsa bog in Northern Norway. – *Astarte* 5: 39-71.
- Vorren, K.-D. 1979. Recent palsa datings, a brief survey. – *Norsk Geografisk Tidsskrift* 33: 217-219.
- Zhang, T., Barry, R.G. & Haeberli, W. 1990. Numerical simulations of the influence of the seasonal snow cover on the occurrence of permafrost at high latitudes. – *Norsk Geografisk Tidsskrift* 55: 261-266.
- Zoltai, S.C. 1993. Cyclic development of permafrost in the peatlands of Northwestern Alberta, Canada. – *Arctic and Alpine Research* 25: 240-246.
- Zuidhoff, F.S. 2002. Recent decay of a single palsa in relation to weather conditions between 1996 and 2000 in Laivadalen, northern Sweden. – *Geografiska Annaler* 84 A: 103-111.
- Zuidhoff, F.S. & Kolstrup, E. 2000. Changes in palsa distribution in relation to climate change in Laivadalen, northern Sweden, especially 1960-1997. – *Permafrost and Periglacial Processes* 11: 55-69.
- Åhman, R. 1977. Palsar i Nordnorge. Medd. Lunds Univ. – *Geografiska Institutionens Avhandlingar* 78, pp 165.



Norsk institutt for naturforskning (NINA) er et nasjonalt og internasjonalt kompetansesenter innen naturforskning. Vår kompetanse utøves gjennom forskning, utredningsarbeid, overvåking og konsekvensutredninger.

NINAs primære aktivitet er å drive anvendt forskning. Stikkord for forskningen er kvalitet og relevans, samarbeid med andre institusjoner, tverrfaglighet og økosystemtilnærming. Offentlig forvaltning, næringsliv og industri samt Norges forskningsråd og EU er blant NINAs oppdragsgivere og finansieringskilder.

Virksomheten er hovedsakelig rettet mot forskning på natur og samfunn, og NINA leverer et bredt spekter av tjenester gjennom forskningsprosjekter, miljøovervåking, utredninger og rådgiving.

ISSN:1504-3312
ISBN: 978-82-426-2564-9

Norsk institutt for naturforskning

NINA Hovedkontor

Postadresse: Postboks 5685 Sluppen, NO-7485 Trondheim

Besøksleveringsadresse: Tungasletta 2, NO-7047 Trondheim

Telefon: 73 80 14 00, Telefaks: 73 80 14 01

E-post: firmapost@nina.no

Organisasjonsnummer 9500 37 687